

بِسْمِ اللّٰهِ الرَّحْمٰنِ الرَّحِيْمِ



پردیس خوارزمی

رشته مهندسی عمران گرایش خاک و پی

پایان نامه کارشناسی ارشد

حل معادله تحکیم با استفاده از موجک

نگارنده : مجتبی رستگار

استاد راهنما

دکتر امیر بذرافشان مقدم

استاد مشاور

دکتر مجید عرفانیان اورعی

شهریور ۱۳۹۵

شماره: ۲۲۸۵ / ۳۰۰. الف  
تاریخ: ۹۵/۷/۷

با اسمه تعالیٰ

ویرایش:



مدیریت تحصیلات تکمیلی

فرم شماره ۷: صور تجلیسه نهایی دفاع از پایان نامه دوره کارشناسی ارشد

با تأییدات حدوده صعال و با استعانت از حضرت ولی عصر (عج) ارزیابی جلسه دفاع از پایان نامه کارشناسی ارشد آقای مجتبی رستگار به شماره دانستجویی ۹۲۰۶۸۱۴ رسنه: مهندسی عمران گرایش مکانیک خاک و پیه تحت عنوان حل معادله تحکیم با استفاده از موجک که در تاریخ: ۹۵/۶/۱۳ با حضور هایت محترم داوران در دانشگاه صنعتی شهرورد برگزار گردیده شرح ذیل اعلام می گردد:

<input type="checkbox"/> مردود	<input type="checkbox"/> دفاع مجدد	<input checked="" type="checkbox"/> انتصار (۱۷/۷۹)	<input type="checkbox"/> علی
--------------------------------	------------------------------------	--	------------------------------

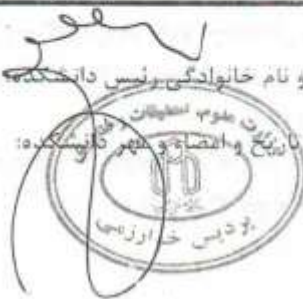
۱- غایب ۱۶ - ۲۰

۲- مشارک خوب (۱۸/۹۹ - ۱۸)

۳- خوب (۱۷/۹۹ - ۱۶)

۴- سره کسر از ۱۴ غیر قابل قبول

اعضاء	مرتبه علمی	نام و نام خانوادگی	عضو هیأت داوران
استاد		دکتر امیر سهرابیان مقدم	۱- استاد احمدی اول
			۲- استاد احمدی دوم
استاد رهبر		دکتر محمد عرفانیان اوزعی	۳- استاد مساز
استاد امیر		دکتر علی عباس نژاد	۴- استاده سورای تحصیلات تکمیلی
استاد امیر		دکتر مدیدی عجمی	۵- استاد مسخر اول
استاد امیر		دکتر سعید گلپار	۶- استاد مسخر دوم



نام و نام خانوادگی: مهندس دانستجو

تقدیم به:

## بهترین های زندگیم؛

تقدیم به مادرم که صبوری اش را آسمان وزمین کوایی می دهد و هر چه دارم مریون دعای خیر اوست....

تقدیم به پدرم که لطافت قلبش لطیف تراز گلبرک های سرخ است، او که برایم الکوئی از ایام و صداقت

است...

تقدیم به همسر مهربانم که با همی و هم راسی خود مراد این راه یاری کرد و بهار زندگیم به ترنم محبت شکنده است ...

تقدیم به دختر فتنم های عزیز، امید نخش جانم که آسایش او آرامش من است.

و تقدیم به تمام کسانی که فروع نگاهشان، کرمی کلامشان و روشنی رویشان سر برایه جاودافی زندگی من بوده

است...

## تشکر و قدردانی

اینکه بپاس هر قدمی که برای ساختن اندیشه‌های من بروداشته شده و در ازای هر اشاره‌ای که مراد رسیدن به پاخ پرسش می‌نمایم.

یاری نموده است تنهایی توانم یاد کنم از نهشان تا خود بدانم آموخته‌ایم درگرو حضور ایشان در زندگی من بوده است.

جای جای این پژوهش مریون راهنمایی‌های استاد بزرگوارم جناب آقای دکتر اسمیر بذرافشان مقدم و جناب آقای دکتر مجید عرفانیان اور عسکری هستم که در طی مراثل انجام پایان نامه، اینجانب راتاحد توان یاری نمودند. اگر زحمات بی‌ثابت و راهنمایی‌های ارزنده آن هانبود، این تلاش به شرمی رسید. موظستان را از خداوند منان خواستارم.

وبالشکر ویژه از جناب آقای آقا مهندس ایلیا آقا زاده و سرکار خانم زهرانچی

از جناب آقای دکتر سعید گلیان و جناب آقای دکتر مهدی عجمی که زحمت مطالعه و داوری این پایان نامه را برعده گرفته قدردانی می‌نمایم.

از حوصله و راهنمایی‌های همسر مهربانم که در طول این دوران همراه پشتیبان من بوده، همراه کمال شکر را دارم.

و با امدادی از مرحوم دکتر بهمن علیداد

# تعهد نامه

اینجانب مجتبی رستگار دانشجوی دوره کارشناسی ارشد رشته عمران گرایش خاک و پی دانشکده پردیس خوارزمی  
دانشگاه صنعتی شاهرود نویسنده پایان نامه حل معادله تحکیم با استفاده از آنالیز موجک تحت راهنمائی دکتر امیر  
بذرافshan مقدم متعهد می شوم .

- تحقیقات در این پایان نامه توسط اینجانب انجام شده است و از صحت و اصالت برخوردار است .
- در استفاده از نتایج پژوهش‌های محققان دیگر به مرجع مورد استفاده استناد شده است .
- مطالب مندرج در پایان نامه تاکنون توسط خود یا فرد دیگری برای دریافت هیچ نوع مدرک یا امتیازی در هیچ جا ارائه نشده است .
- کلیه حقوق معنوی این اثر متعلق به دانشگاه صنعتی شاهرود می باشد و مقالات مستخرج با نام « دانشگاه صنعتی شاهرود » و یا « Shahrood University of Technology » به چاپ خواهد رسید .
- حقوق معنوی تمام افرادی که در به دست آمدن نتایج اصلی پایان نامه تأثیرگذار بوده اند در مقالات مستخرج از پایان نامه رعایت می گردد .
- در کلیه مراحل انجام این پایان نامه ، در مواردی که از موجود زنده ( یا بافت‌های آنها ) استفاده شده است ضوابط و اصول اخلاقی رعایت شده است .
- در کلیه مراحل انجام این پایان نامه ، در مواردی که به حوزه اطلاعات شخصی افراد دسترسی یافته یا استفاده شده است اصل رازداری ، ضوابط و اصول اخلاق انسانی رعایت شده است .

## تاریخ

## امضا دانشجو

### مالکیت نتایج و حق نشر

- کلیه حقوق معنوی این اثر و محصولات آن (مقالات مستخرج ، کتاب ، برنامه های رایانه ای ، نرم افزار ها و تجهیزات ساخته شده است ) متعلق به دانشگاه صنعتی شاهرود می باشد . این مطلب باید به نحو مقتضی در تولیدات علمی مربوطه ذکر شود .
- استفاده از اطلاعات و نتایج موجود در پایان نامه بدون ذکر مرجع مجاز نمی باشد .

\* متن این صفحه نیز باید در ابتدای نسخه های تکثیر شده پایان نامه وجود داشته باشد .

## چکیده:

معادلات دیفرانسیل معمولی و معادلات با مشتقهای جزئی اهمیت و کاربرد فراوانی در مسائل علمی و مهندسی دارند. هنگام حل این قبیل از معادلات تحت شرایطی با معادلات جدیدی مواجه می‌شویم که در آنها تابع مجھول زیر علامت انتگرال ظاهر می‌شود. این معادلات، معادله انتگرال نامیده می‌شوند. در اکثر مسائل برق، الکترومغناطیس، مخابرات و غیره مستقیماً با این دسته از معادلات مواجه می‌شویم. حل این معادلات همواره با برخی مشکلات از قبیل پیچیدگی محاسبات، به دست نیامدن دقیق برای جواب‌ها و غیره توأم بوده است و مطالعات فراوانی برای یافتن روش‌های مناسب جهت کاهش هرچه بیشتر مشکلات مطرح شده انجام گرفته است. در سال‌های اخیر نشان داده شده است که موجک‌ها برای حل این نوع معادلات بسیار مناسب هستند و برای کاهش هزینه محاسبات به طور وسیعی در مسائل فوق بکار برده شده‌اند. تحقیقات متعدد انجام شده در زمینه حل معادلات انتگرال، قابلیت موجک‌های متعامد را نسبت به سایر پایه‌های کلاسیک نشان می‌دهد. موجک‌هایی که در ابتدا برای حل معادلات انتگرال مورد استفاده قرار گرفتند، عموماً موجک‌های متعامد بودند. علت این امر می‌تواند استفاده این موجک‌ها برای اولین بار در پردازش سیگنال‌ها باشد. دو دلیل عمدۀ برای استفاده از موجک‌ها در حل معادلات انتگرال وجود دارد. اول این که در بسط یک تابع یا یک سیگنال با استفاده از موجک‌ها، ضرایب اولیه در بسط موجک اکثر اطلاعات مربوط به تابع یا سیگنال را دارا می‌باشند و در نتیجه نسبت به سایر پایه‌ها با تعداد جملات کمتری می‌توان دقیق خوبی برای جواب به دست آورد. اما دومین و عمدۀ ترین امتیاز موجک‌ها داشتن ماتریس‌های عملیاتی تنک می‌باشد، که باعث می‌شود دستگاه معادلات جبری حاصل به سادگی حل شوند. از جمله ویژگی‌های مطلوب موجک‌ها در حل معادلات انتگرال داشتن محمول فشرده، متقارن، گشتاور‌های صفر، فرم بسته و غیره است. موجک‌هار رده خاصی از توابع است که به عنوان اولین موجک شناخته می‌شود، و اولین بار توسط آلفرد هار، ریاضیدان مجارستانی در سال ۱۹۰۹ پیشنهاد شد. موجک‌هار با دارا بودن مزیت‌های گفته شده در بالا، ساده ترین موجک ممکن نیز می‌باشد. تا کنون معادله دیفرانسیل تحکیم با روش‌های گوناگونی حل شده است. در این پایان نامه معادله تحکیم را با استفاده موجک حل خواهیم نمود. اگرچه ذکر این مطلب ضروریست که تحقیق حاضر شروعی بر حل معادلات با شرایط مرزی پیچیده‌تر در رابطه با مکانیک خاک و پی می‌باشد.

کلمات کلیدی: معادله دیفرانسیل، معادله تحکیم، آنالیز موجک

## فهرست مطالب

صفحه	عنوان
۱	فصل ۱ : مقدمه
۲	۱-۱ مقدمه
۳	۱-۲ نظریه عمومی تحکیم
۴	۱-۳ تحکیم تحت بار ثابت - تحکیم اولیه
۵	۱-۴ مسیر زهکشی
۵	۱-۵ تغییرات تنش مؤثر
۶	۱-۶ تغییرات نشت و نسبت منافذ تحت یک بار ثابت
۶	۱-۷ تئوری تحکیم تک بعدی
۸	۱-۸ نتایج حل معادله تحکیم با استفاده از سری فوریه
۱۱	۱-۹ مروری بر تحقیقات گذشته
۱۲	۱-۱۰ حل مسئله نمونه با استفاده از روش عددی
۱۵	فصل ۲ موجک ها
۱۶	۲-۱ مقدمه
۱۷	۲-۲ آنالیز موجک
۱۹	۲-۳ کاربرد موجک ها در علوم مختلف
۲۱	۲-۴ تعاریف و قضیه ها
۲۵	۲-۵ توابع هار
۲۶	۲-۶ توابع هار گویا

۲۸.....	۷-۲ حل معادلات دیفرانسیل با استفاده از موجک هار
۳۳.....	فصل ۳ حل معادله تحکیم با استفاده از موجک هار
۳۴.....	۱-۳ حل معادله
۳۹.....	۲-۳ نتیجه گیری
۴۰.....	۱-۲-۳ حل مسئله نمونه با استفاده از روش آنالیز موجک
۴۱.....	۲-۳ پیشنهادات
۴۲.....	واژه نامه انگلیسی به فارسی
۴۴.....	مراجع
۴۴.....	پیوست ۱: تعاریف و اصطلاحات

## فهرست اشکال

عنوان	صفحه
شکل (۱-۱) : آزمایش ساده تحکیم.....	۳
شکل (۲-۱) : آزمایش تحکیم.....	۴
شکل (۳-۱) تحکیم اولیه.....	۵
شکل (۴-۱) : المانی از نمونه خاک.....	۷
شکل (۴-۵) : توزیع فشار آب منفذی.....	۹
شکل (۶-۱) تغییرات فشار آب منفذی.....	۱۰
شکل (۷-۱) تغییرات درجه تحکیم با فاکتور زمان.....	۱۰
شکل (۸-۱) پروفیل خاک مسئله .....	۱۳
شکل (۱-۲) مقایسه روش های مختلف تحلیل سیگنال ها.....	۱۸
شکل (۲-۲) نمودار تعدادی از توابع هار (موجک مادر).....	۲۳

# فصل ١

مقدمه

## ۱-۱ مقدمه

افزایش تنش ناشی از ساخت پی یا بارهای دیگر سبب متراکم شدن لایه های خاک می شود. تراکم از تغییر شکل ذرات خاک، جابجایی ذرات خاک و خروج آب یا هوا از فضای خالی ناشی می شود. به طور کلی نشست خاک در اثر بار را می توان به سه شکل کلی تقسیم کرد:

- ۱- نشست آنی که در اثر تغییر شکل الاستیک خاک خشک و خاک های مرطوب و اشباع بدون تغییر میزان رطوبت ایجاد می شود. محاسبات نشست آنی معمولا بر اساس معادلات حاصل از نظریه الاستیک است.
- ۲- نشست تحکیمی اولیه که در اثر تغییر حجم خاک های چسبنده اشباع به دلیل خروج آب از درون فضاهای خالی ایجاد می شود.
- ۳- نشست تحکیمی ثانویه که در خاک های چسبنده اشباع مشاهده می شود و در اثر تغییر خاصیت خمیری ساختار خاک ایجاد می شود. این شکل دیگری از تراکم است که در تنش موثر ثابت روی می دهد.

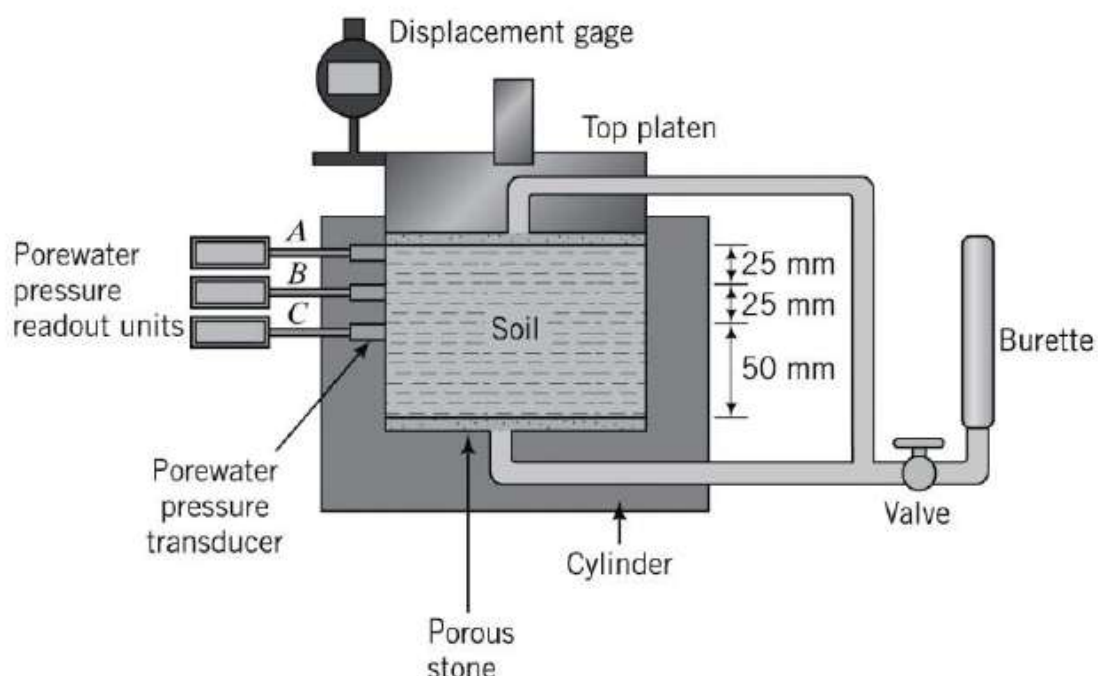
کل نشست پی حاصل مجموع نشست تحکیمی اولیه، نشست تحکیمی ثانویه و نشست آنی می باشد. زمانی که پی بر روی رس های بسیار تراکم پذیر ساخته می شود، نشست تحکیمی ممکن است چندین برابر نشست آنی باشد.

زمانی که لایه خاک اشباع تحت تاثیر افزایش تنش قرار میگیرد، فشار آب منفذی ناگهان افزایش می یابد. در خاک های ماسه ای با نفوذپذیری بالا، زهکشی ناشی از افزایش فشار آب منفذی کاملا آنی است، زهکشی آب منفذی با کاهش حجم توده خاک همراه است که خود به نشست منجر می گردد. به دلیل زهکشی سریع آب منفذی در خاک های ماسه ای، نشست آنی و تحکیمی هم زمان رخ می دهد. زمانی که لایه رس تراکم پذیر اشباع تحت تاثیر افزایش تنش قرار می گیرد، نشست آنی بلاfacile انجام می شود. از آنجا که ضریب نفوذپذیری رس بسیار کمتر از ماسه است افزایش فشار آب منفذی ناشی از بارگذاری بصورت تدریجی در طی زمان طولانی مستهلک می شود. بنابراین تغییر حجم خاک رس (تحکیم) تا مدت زمان طولانی پس از نشست آنی ادامه می یابد. نشست ناشی از تحکیم در خاک رس چندین برابر بزرگتر از نشست آنی است. در ادامه توضیح مختصراً در خصوص تحکیم، معادله و پارامترهای مربوطه بیان خواهد شد.

## ۱-۲ نظریه عمومی تحکیم

برای توسعه نظریه های گوناگون در نشست تحکیم فرض می کنیم: خاک اشباع و همگن است، ذرات خاک و آب غیر قابل تراکم، جریان آب قائم است، قانون دارسی برقرار است و کرنش ها کوچک هستند.

می توان با انجام یک آزمایش ساده نظریه های مقدماتی نشست تحکیم یک بعدی خاک های ریزدانه را بیان نمود. یک نمونه نازک، نرم و اشباع رس را بین دو سنگ متخلخل در یک طرف استوانه ای صلب که جدار داخلی آن بدون اصطکاک باشد قرار می دهیم. سنگهای متخلخل برای آسان کردن روند زهکشی آب منفذی از بالا و پایین خاک استفاده می شوند. صفحه ای برای انتقال بار اعمالی به خاک روی سنگ متخلخل بالایی قرار داده می شود. آب اضافی بوسیله یک لوله پلاستیکی به بورت منتقل می شود. شیری برای کنترل جریان آب اضافی به بورت تعییه شده است. سه دستگاه اندازه گیری فشار آب منفذی در دیوار ظرف متصل شده است. یکی در نزدیکی سنگ متخلخل (A)، دیگری در ارتفاع یک چهارم (B) و آخری در وسط (C). شکل (۱-۱)



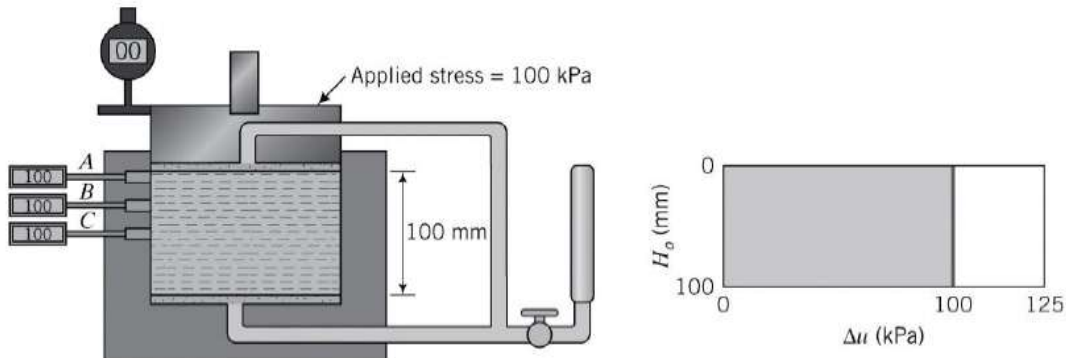
شکل (۱-۱): آزمایش ساده تحکیم [1]

فشار آب منفذی اضافی ، فشار آبی است که بدليل بارگذاري در توده خاک بوجود می آيد . یک گیج تغییر مکان برای اندازه گیری نشست عمودی خاک روی صفحه قرار گرفته است. فرض می کنیم آب منفذی و ذرات خاک غیر قابل تراکم اند و فشار آب منفذی اولیه صفر است. حجم آب منفذی اضافی که در خاک زهکشی می شود، همان تغییر حجم خاک حاصل از بار وارد است. چون دیواره های ظرف بدون اصطکاک هستند پس تغییر مکان جانبی رخ نمی دهد.

پس کرنش های جانبی و شعاعی صفر هستند.  $\epsilon_r = 0$  و کرنش حجمی برابر کرنش قائم است  
 $\Delta z = \frac{\Delta z}{H_0} (\epsilon_z + \epsilon_\theta + \epsilon_p)$ .

بار  $P$  را بر خاک وارد کرده و شیر را بسته نگه می داریم. چون آب منفذی اضافی نمی تواند از خاک زهکشی شود، تغییرات حجم خاک صفر است.  $(\Delta V = 0)$  و هیچ گونه بار یا تنشی به ذرات خاک منتقل نمی شود  $(\Delta \sigma'_z = 0)$ . آب منفذی ، بار کمی را تحمل می کند. فشار آب منفذی اضافی اولیه  $(\Delta U_0)$  در نتیجه مساوی با تغییرات تنش عمودی اعمالی است  $\Delta \sigma_z = \frac{P}{A}$  که  $A$  سطح مقطع خاک است.  $\Delta P = (\Delta \sigma_z + 2\Delta \sigma_r)/3$  تغییرات تنش کل میانگین است، که  $\Delta \sigma_r$  تغییرات تنش شعاعی است. برای خاک آزمایش می توان فرض کرد که فشار آب منفذی اضافی اولیه بصورت یکنواخت در عمق توزیع می شود. بنابراین در هر نقطه در داخل خاک، فشار آب منفذی اضافی اولیه مساوی با تنش عمودی اعمالی است.

برای مثال، اگر  $\Delta u_0 = 100 \text{ kPa}$  پس  $\Delta \sigma_z = 100 \text{ kPa}$  مطابق شکل (۲-۱) است.

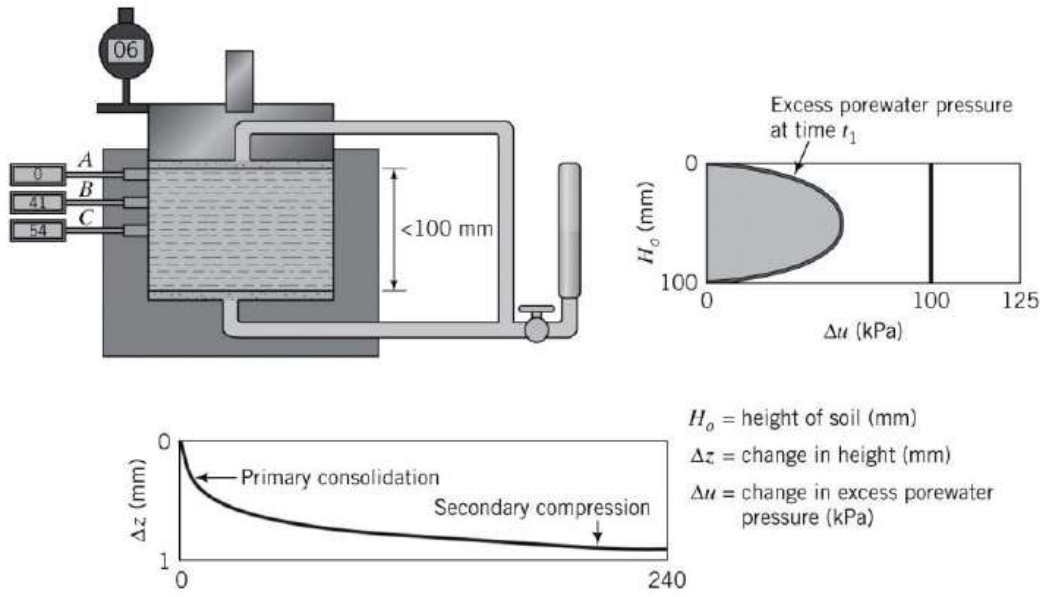


شکل (۲-۱) : آزمایش تحکیم [1]

### ۱-۳ تحکیم تحت بار ثابت - تحکیم اولیه

شیر را باز کرده و اجازه می دهیم آب منفذی اضافی اولیه زهکشی شود. حجم کل خاک در زمان  $t_1$  کاهش می یابد. مقدار آب منفذی که از خاک زهکشی می شود، به وسیله تغییر حجم آب در بورت نشان داده می شود شکل (۳-۱). در بالا و پایین نمونه خاک ، فشار آب منفذی اضافی صفر است زیرا آنها مرزهای زهکشی هستند. کاهش فشار آب منفذی اولیه در وسط نمونه خاک (نقطه C) آهسته تر از نقاط دیگر است چون یک ذره آب برای خروج باید از وسط نمونه به بالا یا پایین نمونه حرکت کند. باید توجه شود که نشست خاک  $(\Delta \sigma_z)$  نسبت به زمان  $t$  خطی نیست. بیشتر نشست در اندک زمانی پس از باز کردن شیر زمانی رخ می دهد دامنه نشست،  $\frac{\Delta z}{t}$  بلافصله پس از باز کردن شیر در قیاس با زمان های بعدی سریعتر است. قبل از باز شدن شیر هد هیدرولیکی اولیه،  $\frac{\Delta u_0}{\gamma_w}$  بوسیله تنش عمودی اولیه بوجود آمده بود. بعد از اینکه شیر باز شد، آب منفذی اضافی اولیه به وسیله این هد هیدرولیکی اولیه به بیرون خاک رانده می شود. با گذشت زمان هد هیدرولیکی اولیه کاهش می یابد و در نتیجه مقادیر کمتری آب منفذی اضافی به بیرون رانده می شود. این موضوع همانند یک لوله آب تحت

فشاری است که شکسته شده است، حجم زیادی از آب بلافصله پس از شکستگی خارج می شود ، اما بزودی پس از آن، جریان کاهش می یابد . نشست اولیه بلافصله پس از باز کردن شیر را تحکیم اولیه نامیم. تحکیم اولیه تغییرات حجم خاک حاصل از خروج آب داخل منفذ و انتقال بار از فشار آب منفذی اضافی به ذرات خاک است.



شکل (۳-۱) تحکیم اولیه [1]

#### ۴-۱ مسیر زهکشی

بیشترین فاصله ای که یک ذره بصورت قائم برای خروج از خاک طی می کند طول مسیر زهکش نامیده می شود . چون به خاک اجازه زهکشی از دو طرف ، بالا و پایین ، را می دهیم طول مسیر زهکش برابر:

$$H_{dr} = \frac{H_{ave}}{2} = \frac{H_0 + H_f}{4} \quad (1-1)$$

در صورتی که زهکشی از یک طرف اجازه داده شود پس  $H_{dr} = H_{ave}$  هرچه مسیر زهکش کوتاهتر باشد نشست خاک در زمان کوتاهتری انجام می گیرد.

#### ۵-۱ تغییرات تنش موثر

از انجا که تنش عمودی اعمالی (تنش کل ) ثابت باقی می ماند ، در نتیجه طبق قانون ترزاکی ، اصل تنش موثر ( $\Delta\sigma'_z = \Delta\sigma_z - \Delta u$ ) هر کاهش فشار آب منفذی اضافی با افزایش متناظر تنش موثر عمودی متعادل می شود.

$$\begin{aligned} t = 0 &; \quad \Delta u_0 = \Delta\sigma_z \quad ; \quad \Delta\sigma'_z = 0 \\ t &; \quad \Delta u(t) \quad ; \quad \Delta z > 0 \quad ; \quad \Delta\sigma'_z = \Delta\sigma_z - \Delta u(t) \\ t \rightarrow \infty &; \quad \Delta u_0 \rightarrow 0 \quad ; \quad \Delta V \rightarrow 0 \quad ; \quad \Delta\sigma'_z = \Delta\sigma_z \end{aligned}$$

نشست خاک با زمان رابطه خطی ندارد بجز در مراحل اولیه فرآیند تحکیم. تغییر حجم خاک برابر است با حجم آب منفذی اضافی خارج شده. شدت نشست به نفوذپذیری خاک بستگی دارد.

## ۱-۶ تغییرات نشست و نسبت منافذ تحت یک بار ثابت

حجم اولیه (حجم ویژه) خاک برابر  $e_0 = 1 + V$  که نسبت منافذ اولیه خاک است. هر تغییر در حجم ( $\Delta V$ ) برابر است با تغییر نسبت ( $\Delta e$ ). کرنش حجمی را می‌توان از تغییر نسبت منافذ محاسبه کرد:

$$\varepsilon_p = \frac{\Delta V}{V} = \frac{\Delta e}{1+e_0} \quad (2-1)$$

برای تحکیم تک بعدی  $\varepsilon_p = \varepsilon_z$  می‌توان رابطه بین نشست و تغییر نسبت منافذ را نوشت:

$$\varepsilon_z = \frac{\Delta Z}{H_0} = \frac{\Delta e}{1+e_0} \quad (3-1)$$

ارتفاع اولیه خاک است، معادله بالا را می‌توان به صورت زیر نوشت:

$$\Delta Z = H_0 \frac{\Delta e}{1+e_0} \quad (4-1)$$

ما از  $P_{pc}$  برای تحکیم اولیه استفاده می‌کنیم

$$P_{pc} = H_0 \frac{\Delta e}{1+e_0} \quad (5-1)$$

نسبت منافذ در انتهای تحکیم تحت بار  $P$  برابر:

$$e = e_0 - \Delta e = e_0 - \frac{\Delta Z}{H_0} (1 + e_0) \quad (6-1)$$

## ۱-۷ تئوری تحکیم تک بعدی

المانی از نمونه خاک آزمایشات به ضخامت  $dA = dx dy dz$  و سطح مقطع  $y$  را مطابق شکل (۶-۱)

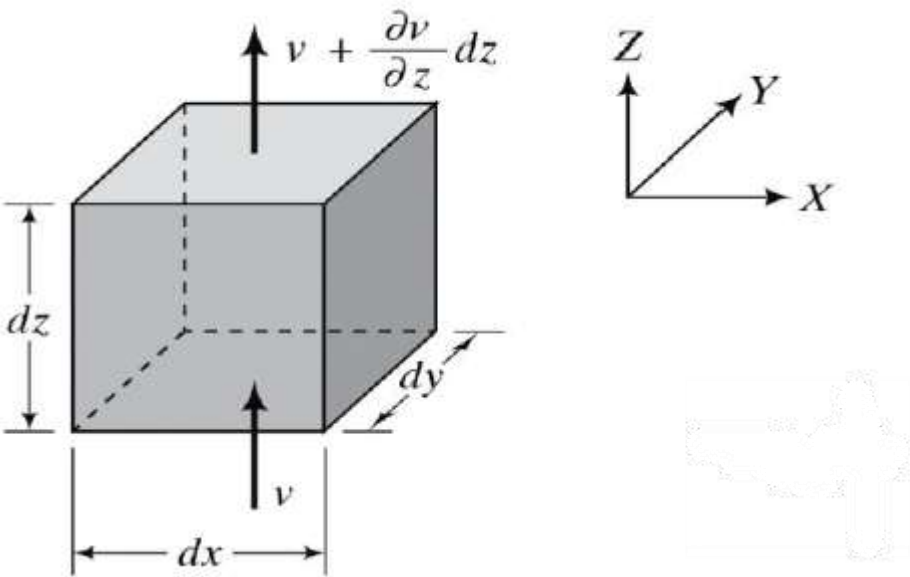
در نظر می‌گیریم، فرض می‌کنیم:

- خاک اشباع، ایزوتrop و همگن است.
- قانون دارسی برقرار است.
- جریان بصورت عمودی می‌باشد.
- کرنش‌ها بسیار کوچک‌اند.

تغییر حجم خاک  $\Delta V$  برابر تغییر حجم آب منفذی خارج شده  $\Delta V_w$  است که برابر با تغییر حجم منافذ است.

$$\Delta V = \Delta V_w = \Delta V_v$$

از آنجا که سطح خاک ثابت است (خاک از اطراف محدود نشده است) تغییر حجم خاک نسبت مستقیم با تغییر ارتفاع دارد.



شکل (۱-۴): المانی از نمونه خاک [1]

در حالت تحکیم یک بعدی، جریان آب به داخل و خارج از جزء حجم خاک فقط در یک امتداد مثلا در امتداد Z صورت می‌گیرد. این بدان معنی است که  $q_x, q_y, dq_x, dq_y$  (دبی) مساوی صفرند. بنابراین خواهیم داشت:

$$(q_z + dq_z) - q_z = \frac{\partial V}{\partial t} \quad \text{سرعت تغییر حجم جزء حجم خاک}$$

$V = dx dy dz$

از معادلات حاکم بر تراوش خواهیم داشت:

$$k \frac{\partial^2 h}{\partial z^2} dx dy dz = \frac{\partial V}{\partial t} \quad (7-1)$$

که در آن  $k$  ضریب نفوذپذیری می‌باشد.  
از سوی دیگر

$$h = \frac{u}{\gamma_w} \quad (8-1)$$

که  $\gamma_w$  وزن مخصوص آب است. بنابراین:

$$\frac{k}{\gamma_w} \frac{\partial^2 u}{\partial z^2} = \frac{1}{dx dy dz} \frac{\partial V}{\partial t} \quad (9-1)$$

در طی تحکیم، سرعت تغییر حجم خاک معادل با سرعت تغییر حجم فضای حفره‌ای می‌باشد. از اینرو:

$$\frac{\partial V}{\partial t} = \frac{\partial V_v}{\partial t} \quad (10-1)$$

که  $V_v$  حجم فضای حفره‌ها در جزء حجم خاک می‌باشد. اما:

$$V_v = e V_s \quad (11-1)$$

که  $V_s$  حجم دانه‌های جامد می‌باشد، که ثابت است و  $e$  نسبت تخلخل را نشان می‌دهد، از اینرو:

$$\frac{\partial V}{\partial t} = V_s \frac{\partial e}{\partial t} = \frac{V}{1+e} \frac{\partial e}{\partial t} = \frac{dx dy dz}{1+e} \frac{\partial e}{\partial t} \quad (12-1)$$

در نتیجه:

$$\frac{k}{\gamma_w} \frac{\partial^2 u}{\partial z^2} = \frac{1}{1+e} \frac{\partial e}{\partial t} \quad (13-1)$$

تغییر نسبت تخلخل،  $\partial e$  در اثر افزایش تنش موثر است. با فرض اینکه این دو رابطه خطی با هم دارند، می توان نوشت:

$$\partial e = -a_v \partial (\Delta \sigma') \quad (14-1)$$

که  $a_v$  ضریب تراکم پذیری نامیده می شود. افزایش تنش موثر در اثر کم شدن اضافه فشار آب حفره ای  $\partial u$  می باشد. بنابراین:

$$\partial e = a_v \partial u \quad (15-1)$$

با ترکیب معادلات بالا خواهیم داشت:

$$\frac{k}{\gamma_w} \frac{\partial^2 u}{\partial z^2} = \frac{a_v}{1+e} \frac{\partial u}{\partial t} = m_v \frac{\partial u}{\partial t} \quad (16-1)$$

$m_v = \frac{a_v}{1+e}$  ضریب تراکم پذیری حجمی است.  
بنابراین خواهیم داشت:

$$\frac{\partial u}{\partial t} = C_V \frac{\partial^2 u}{\partial z^2} \quad (17-1)$$

$$C_V = \frac{cm^2}{min} \frac{K_z}{m_v \gamma_w} \text{ واحد آن}$$

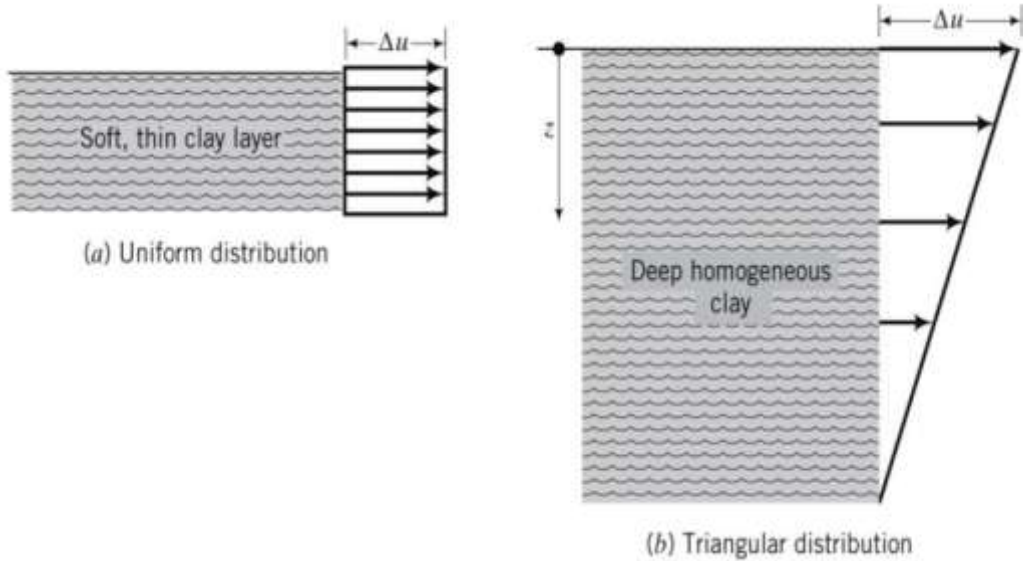
$m_v$  و  $K_z$  ثابت نیستند.  $K_z$  در هنگام تحکیم و با کاهش نسبت منافذ ها کاهش می یابد و  $C_V$  نیز رابطه خطی با ارتفاع ندارد. بنابراین  $C_V$  نیز ثابت نخواهد بود. اگر تغییرات تنش به اندازه کافی کوچک باشد که  $m_v$  و  $K_z$  تغییر قابل توجهی نداشته باشند عمل  $C_V$  ثابت است.

## ۱-۸ نتایج حل معادله تحکیم با استفاده از سری فوریه

برای حل هر معادله دیفرانسیل نیاز به شرایط مرزی داریم. با مشخص کردن توزیع اولیه فشار آب منفذی در مرزها می توان معادله تحکیم را حل نمود. توزیع فشار آب منفذی می تواند مطابق شکل های زیر باشد شرایط مرزی برای توزیع یکنواخت فشار آب منفذی اضافی در زهکشی دو طرفه بصورت:

$$t = 0 ; \quad \Delta u = \Delta u_0 = \Delta \sigma_z \quad \text{در مرز بالایی} \quad Z = 0 ; \quad \Delta u = 0$$

$$\text{طول مسیر زهکشی: } H_{dr} ; \quad \Delta u = 0 ; \quad H_{dr} = 2H_{dr} ; \quad \Delta u = 0$$



شکل (۱-۵): توزیع فشار آب منفذی [۱]

جواب معادله تحکیم که شرایط مرزی را ارضاء کند با استفاده از سری فوریه بدست می آید:

$$\Delta u(z, t) = \sum_{m=0}^{\infty} \frac{2\Delta u_0}{M} \sin \left[ \frac{MZ}{H_{dt}} \right] \exp(-M^2 T_V) \quad (18-1)$$

که  $(18-1)$   $m$  و  $M = \frac{\pi}{2}(2m + 1)$  مقادیر مثبت از صفر تا بینهایت است.

$$T_V = \frac{C_V t}{H_{dt}^2} \quad (19-1)$$

که  $T_V$  فاکتور زمان است که بدون بعد می باشد.

می توان با رسم معادله بالا مقادیر مختلف فشار آب منفذی نسبت به عمق را در زمانهای مختلف بدست آورد.

$$t = 0 \quad (T_V = 0) ; \quad \Delta u_0 = \Delta \sigma_z$$

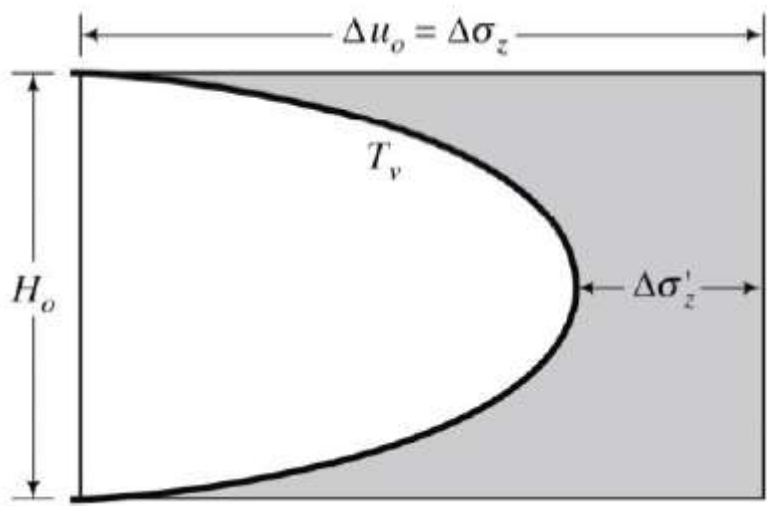
بلافاصله بعد از زهکشی ، فشار آب منفذی اضافی در مرز نفوذ پذیر صفر می شود. ماکزیمم فشار آب منفذی در وسط لایه رخ می دهد که مسیر زهکشی طولانی ترین است.

$$t > 0 \quad \Delta \sigma_z = \Delta u_z + \Delta \sigma'_z$$

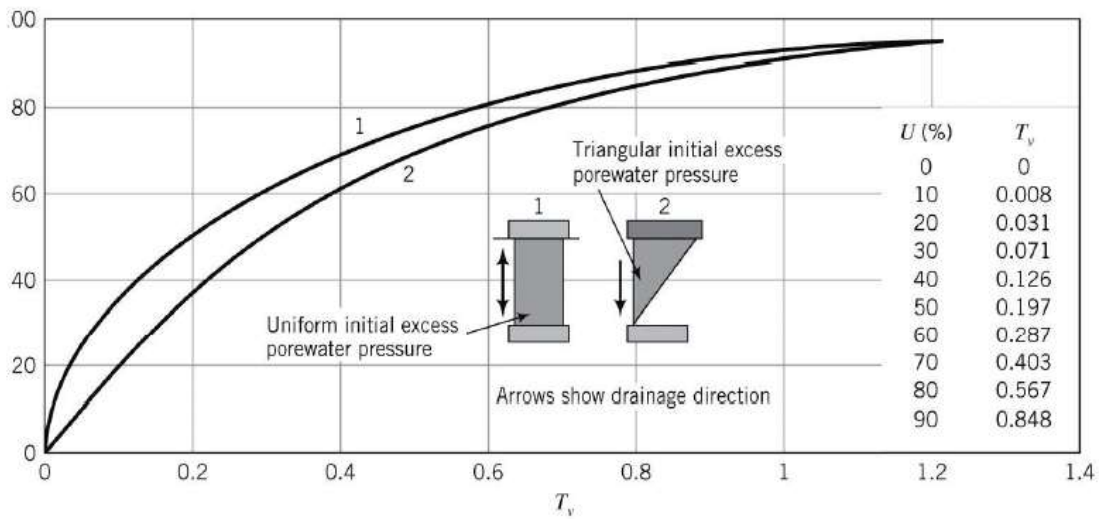
$$t \rightarrow \infty \quad \Delta u = 0 ; \quad \Delta \sigma'_z = \Delta \sigma_z$$

پارامتر  $U_z$  معرف درجه تحکیم است مقدار تحکیم را در انتهای یک زمان بخصوص در یک عمق را نشان می دهد . که بصورت ریاضی به صورت:

$$U_z = 1 - \frac{\Delta u_z}{\Delta u_0} = 1 - \sum_{m=0}^{\infty} \frac{2}{M} \sin \left[ \frac{MZ}{H_{dt}} \right] \exp(-M^2 T_V) \quad (20-1)$$



شکل (۱-۶) تغییرات فشار آب منفذی [1]



شکل (۷-۱) تغییرات درجه تحکیم با فاکتور زمان [1]

$$t = 0 ; \Delta u_z = \Delta u_0 ; U_z = 0$$

در شروع تحکیم

$$t = \infty \quad \Delta u_z = 0 ; U_z = 1$$

در پایان تحکیم

ما از درجه تحکیم متوسط  $U$  کل لایه در یک زمان به جای درجه اشباع در یک عمق موردنظر استفاده می کنیم . مقدار متوسط درجه تحکیم را می توان از حل معادله تحکیم یک بعدی بدست آورد:

$$U = 1 - \sum_{m=0}^{\infty} \frac{2}{M^2} \exp(-M^2 T_V) \quad (21-1)$$

تغییرات درجه تحکیم متوسط نسبت به فاکتور تراکم  $T_V$  را می توان بصورت نمودار برای توزیع یکنواخت و مثلثی فشار آب منفذی نشان داد. معادلات مناسبی که برای زهکشی دو طرفه متوسط منحنی ها بدست می آید شامل:

$$U < 60\% \quad T_V = \frac{\pi}{4} \left[ \frac{U}{100} \right] \quad (22-1)$$

$$U \geq 60\% \quad T_V = 1.781 - 0.933 \log(100 - U) \quad (23-1)$$

برای ۵۰ درصد تحقیم  $T_V = 0.197$  و برای ۹۰ درصد تحقیم  $T_V = 0.848$

## ۹- مروری بر تحقیقات گذشته

در اینجا به صورت یک جدول اشاره ای خواهیم داشت به تحقیقات پیشین که مرتبط با موضوع این تحقیق می باشند و در ادامه نتایج تعدادی از تحقیقات مذکور را به طور مختصر شرح خواهیم داد.

عنوان تحقیق	نویسنده	نتایج اصلی
مقایسه‌ی عددی حل‌های معادله‌ی تحقیم یک بعدی ترزاقی به روش‌های تفاوت‌های محدود، اجزاء‌محدود و تحلیلی در ترسیم منحنی‌های همزمان ۱ تحقیم	شرفی، حسن و یزدان شمس‌ملکی، ۱۳۹۲	نتایج هر دو روش عددی تفاوت محدود و اجزاء محدود در مجاورت شرایط مرزی انتهای و ابتدای لایه‌ی خاک، باهم سازگاری بوده
حل معادله تحقیم یک بعدی با روش	سپولودا ۱۹۹۱	معادله تحقیم یک بعدی با استفاده از این روش حل می‌گردد. و نتایج حاصل قبل قبول بوده.
حل معادله تحقیم با استفاده از روش تفاوت‌های محدود	تومان، جی ۱۹۷۲	نتایج حاصله با نتایج آزمایشگاهی و صحرایی متناسب است.
حل معادله تحقیم یک بعدی ترزاقی با شرایط مرزی عمومی	کی مینک چن، ۲۰۱۳	

- شرفی، حسن و یزدان شمس‌ملکی، ۱۳۹۲، مقایسه‌ی عددی حل‌های معادله‌ی تحقیم یک بعدی ترزاقی به روش‌های تفاوت‌های محدود، اجزاء‌محدود و تحلیلی در ترسیم منحنی‌های همزمان ۱ تحقیم، هفتمین کنگره ملی مهندسی عمران، زاهدان، دانشگاه سیستان و بلوچستان.

### خلاصه مقاله

بررسی میزان نشست سازه‌ها، از جمله کنترل‌های مهم در حین طراحی و بهره‌برداری از سازه است. نشست تحقیمی بسته به نوع ساختگاه سازه، می‌تواند تاثیرگذارترین نوع نشست باشد، که با توجه به زمان بُر بودن آن، آگاهی از روند پیشرفت آن در طی زمان، حائز اهمیت است. در این مقاله در حل معادله‌ی تحقیم یک بعدی ترزاقی، از سه روش تفاوت‌های محدود، با جایگزینی مشتقات جزئی موجود در معادله با بسط‌های سری تیلور، حل اجزاء‌محدود معادله، که از نوع وابسته به زمان مرتبه‌ی اول است، از روش حل ناهمبسته‌ی ضمنی و برای حل تحلیلی معادله از روش جدایی متغیرها و استفاده از سری‌های فوریه بهره‌برده شده است. در پایان راه حل‌های سه روش، دریک زبان برنامه نویسی یکسان نوشته شده و خروجی‌های حاصل از تغییرات اضافه فشارآب منفذی در طول نموهای زمان و در عمق لایه‌ی خاک در قالب نمودارهایی به نمایش و مقایسه درآمده اند. نتایج هر دو روش

عددی تفاوت محدود و اجزاء محدود در مجاورت شرایط مرزی انتها و ابتدای لایه‌ی خاک، باهم سازگاربوده و در میانه‌ی لایه، روش اجزاء محدود مقادیر اضافه فشارهای منفذی بیشتری را نسبت به روش تفاوت محدود، بدست می‌دهد [3].

## ۲- ان سپولودا آنون ۱۹۹۱، حل معادله تحکیم یک بعدی با استفاده از روش pseudospectral خلاصه مقاله

معادله تحکیم یک بعدی در یک سیستم حوزه آب زیرزمینی با استفاده از روش pseudospectral حل شده است. مشتق مکان با استفاده از تبدیل سری فوريه محاسبه می‌شود و مشتق زمان با استفاده از روش Runge-Kutta حل می‌گردد.

مدل کامپیوتری محاسبه تراکم بر مبنای میزان نسبت فضای خالی است که در طی دوره زمانی انباسته شده است. انقباض و انبساط، حاصل از تغییرات سطح آب‌های زیرزمینی که بر مبنای مشاهدات چاههای مناطق کالیفرنیا و سن جواکین و سانتاکلارا می‌باشد. از داده‌های میدانی که قبلاً به دست آمده اند چگالی ذرات خاک و ظریب تحکیم و شرایط هیدرولیکی و نسبت منافذ اولیه حاصل می‌شود. نمودار سطح آب در چاهها رسم شده و استفاده می‌شود برای نرخ تغییرات تنش موثر در طول زمان [4].

## ۱۰- حل مسئله نمونه با استفاده از یکی از روش‌های عددی

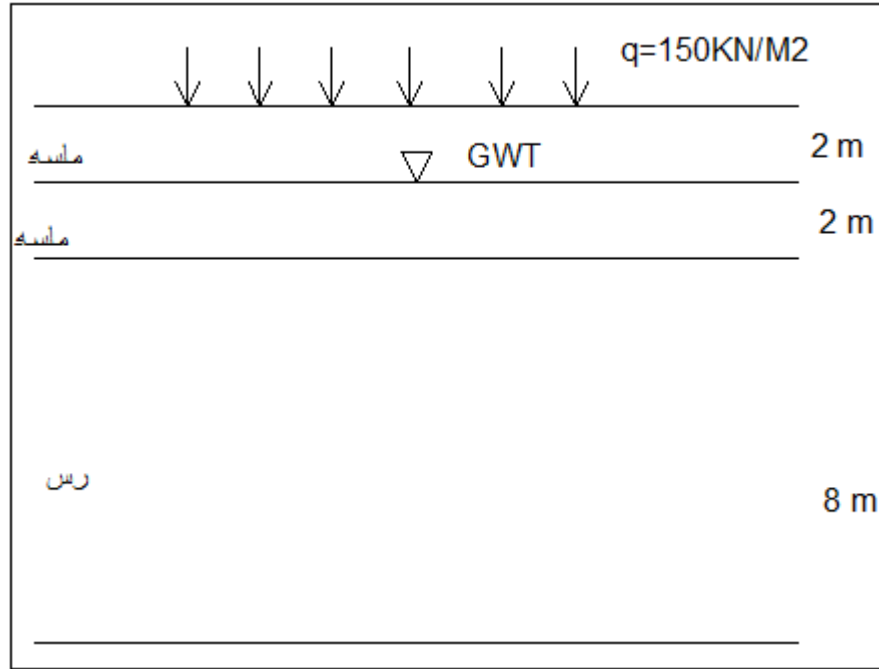
در این بخش به حل نمونه مسئله تحکیم خاک با استفاده از روش ذکر شده در کتاب مکانیک خاک خواهیم پرداخت و در پایان این پایان نامه نتایج به دست آمده با استفاده از این حل را با حل موجکی مسئله مقایسه می‌نماییم.

مثال: سربار یکنواخت  $q = 150 \frac{KN}{m^2}$  بر سطح زمین که سطح مقطع آن به شکل (۱۳-۱)

نشان داده شده است، وارد می‌شود. با استفاده از روش عددی، توزیع فشار آب حفره‌ای را برای لایه رس، ده روز پس از وارد شدن سربار محاسبه می‌کنیم.

حل: برای اینکه سربار باشد یکنواخت اثر می‌کند، اضافه فشار آب حفره‌ای بلافاصله بعد از اعمال بار در تمام اعماق لایه‌های رس به مقدار ثابت  $150 \frac{KN}{m^2}$  خواهد بود. از طرفی در اثر شرایط

زهکشی، اضافه فشار آب حفره‌ای در بالا و پایین لایه رس فوراً به صفر خواهد رسید. فرض می‌کنیم که  $\bar{U} = \frac{150}{1.5} = 100$  باشند. پس  $Z_R = 8 m$  و  $U_R = 1.5 \frac{KN}{m^2}$  و  $\bar{Z} = \frac{8}{8} = 1$  و  $\Delta\bar{Z} = \frac{2}{8} = 0.25$  است.



شکل (۱-۸) پروفیل خاک مسئله

حال خواهیم داشت:

$$t_R = \frac{Z_R^2}{C_V}, \quad \bar{t} = \frac{t}{t_R}, \quad \frac{\Delta t}{\Delta \bar{t}} = \frac{Z_R^2}{C_V}, \quad \Delta \bar{t} = \frac{C_V \Delta t}{Z_R^2}$$

به ازای  $\Delta t = 5$  خواهیم داشت:

$$\Delta \bar{t} = \frac{C_V \Delta t}{Z_R^2} = \frac{0.26(5)}{8^2} = 0.0203$$

$$\frac{\Delta \bar{t}}{\Delta \bar{Z}} = \frac{0.0203}{0.25^2} = 0.325$$

$t = 5$  در زمان  $U$

$\bar{Z} = 0$  در

$$\bar{U}_{0,\bar{t}+\Delta \bar{t}} = 0$$

$\bar{Z} = 0.25$  در

$$\bar{U}_{0,\bar{t}+\Delta \bar{t}} = \frac{\Delta \bar{t}}{(\Delta \bar{Z})^2} (\bar{U}_{1,\bar{t}} + \bar{U}_{3,\bar{t}} - 2\bar{U}_{0,\bar{t}}) + \bar{U}_{0,\bar{t}}$$

$$\bar{U}_{0,\bar{t}+\Delta \bar{t}} = 0.325[0 + 100 - 2(100)] + 100 = 67.5$$

$\bar{Z} = 0.5$  در

$$\bar{U}_{0,\bar{t}+\Delta \bar{t}} = 0.325[100 + 100 - 2(100)] + 100 = 100$$

$\bar{Z} = 0.75$  در

$$\bar{U}_{0,\bar{t}+\Delta\bar{t}} = 0.325[100 + 0 - 2(100)] + 100 = 67.5$$

$$\bar{Z} = 1_{در}$$

$$\bar{U}_{0,\bar{t}+\Delta\bar{t}} = 0$$

$$t = 10 \text{ day}$$

$$\bar{Z} = 0_{در}$$

$$\bar{U}_{0,\bar{t}+\Delta\bar{t}} = 0$$

$$\bar{Z} = 0.25_{در}$$

$$\bar{U}_{0,\bar{t}+\Delta\bar{t}} = 0.325[0 + 100 - 2(67.5)] + 67.5 = 56.13$$

$$\bar{Z} = 0.5_{در}$$

$$\bar{U}_{0,\bar{t}+\Delta\bar{t}} = 0.325[67.5 + 67.5 - 2(100)] + 100 = 78.875$$

$$\bar{Z} = 0.75_{در}$$

$$\bar{U}_{0,\bar{t}+\Delta\bar{t}} = 0.325[100 + 0 - 2(67.5)] + 67.5 = 56.13$$

$$\bar{Z} = 1_{در}$$

$$\bar{U}_{0,\bar{t}+\Delta\bar{t}} = 0$$

نتایج حاصل در زمان  $t = 10day$

$z(m)$	0	2	4	6	8
$U(\frac{KN}{m^2})$	0	84.20	118.311	84.20	0

# فصل ۲

# موجک هار

## ۱-۲ مقدمه

اصلی ترین شاخه ریاضیات که توسط دانشمند فرانسوی ژوزف فوریه<sup>۱</sup>، در سال ۱۸۰۷ ارائه شد و منجر به پیدایش موجکها گردید، نظریه آنالیز فرکانس بود که هم اکنون این تئوری، آنالیز فوریه نامیده می شود. فوریه برای نخستین بار طی ارائه رساله ای در آکادمی علوم پاریس ایده‌ی نمایش یک تابع بر حسب توابع دیگر را مطرح کرد. نظریه فوریه دری را به روی یک دنیای جدید تابعی باز کرد. بعد از سال ۱۸۰۷، با کشف مفاهیمی نظیر همگرایی سریهای فوریه، سیستمهای متعامد و غیره، مطالعه آنالیز سیگنال جای خود را به آنالیز مقیاس واگذار کرد. آنالیز مقیاس عبارت است از مطالعه تابع  $f(x)$  با ایجاد ساختارهای ریاضی برای  $f(x)$ ، که در مقیاس متغیر هستند. به این ترتیب که ابتدا یک تابع ساخته می شود، سپس با یک مقدار ثابت انتقال داده می شود و در مقیاس تغییر می کند. برای تقریب یک سیگنال این روند مکرراً انجام می شود. چون این روش میانگین نوسان سیگنال در مقیاسهای مختلف را اندازه گیری می کند، دارای خطای کمی می باشد. در واقع برای آن که تابع  $f(x)$  به شیوه ای ساده و فشرده نمایش داده شود، می توان از مجموعه ای نامتناهی توابع سینوس وار استفاده نمود. بعبارت دیگر فوریه نشان داد که تابع  $f(x)$  را می توان بوسیله ی ترکیب خطی بی نهایت تابع سینوسی و کسینوسی به شکل  $\cos ax$  و  $\sin ax$  نمایش داد. با گذشت زمان ضعف پایه های فوریه نمایان شد. مثلا برای فرمول بندی پردازش سیگنال های پیچیده نظری تصاویر، نه تنها ایده آل نیستند بلکه از شرایط مطلوب دورند، زیرا قادر به نمایش ساختارهای گذرا نظیر مرزهای موجود در تصاویر نمی باشند. در سال ۱۹۰۹ هار اولین کسی بود که به موجک ها اشاره کرد.

در سال ۱۹۳۰ ریاضیدانان به قصد تحلیل ساختارهای تکین موضوعی به فکر اصلاح پایه های فوریه افتادند و بعد از آن در سال ۱۹۷۰ یک ژئوفیزیکدان فرانسوی به نام ژان مورله<sup>۲</sup> در آزمایشگاهی متعلق به الف آکیلن متوجه شد، که پایه های فوریه ابزار مطمئنی برای اکتشافات زیر زمین نیست، که این موضوع از مهمترین دلایل کشف موجک ها گردید. در سال ۱۹۷۶ میرو و مالت<sup>۳</sup> از پایه های موجک متعامد توانستند آنالیز چند ریزگی<sup>۴</sup> را بسازند و مالت تجزیه موجک ها و الگوریتم های بازسازی را با به کار بردن آنالیز چند ریزگی بوجود آورد و تحول عظیمی در آنالیز موجک ایجاد نمود[۵,6]. در سال ۱۹۸۰ ایوس میر<sup>۵</sup> ریاضیدان فرانسوی، نخستین پایه های موجکی متعامد و ژان مورله مفهوم و تبدیل موجک را به عنوان یک ابزار برای آنالیز سیگنال زمین لرزه و گراسمن<sup>۶</sup> فیزیکدان فرانسوی نیز فرمول وارونی را برای تبدیل موجک بدست آوردهند[۷,8,9]. در سال ۱۹۸۸ نخستین دسته از موجک های متعامد با محمل فشرده توسط دابشی<sup>۱۰</sup> ساخته شد[۱۰]. در سال ۱۹۹۰ مورنژی<sup>۸</sup> و آنتون<sup>۹</sup> موجک ها

1 Joseph Fourier

2 Jean Morlet

3 Stéphane Mallat

4 MultiResolution Analysis (MRA)

5 Yves Meyer

6 Alex Grossmann

7 Daubechies

8 R. Murenzi

9 J.-P. Antoine

را به دو بعد و سپس به فضاهایی با ابعاد بزرگتر گسترش دادند و بدین ترتیب بود که آنالیز موجک<sup>۱</sup> پایه گذاری گردید [11]. همچنین در سال ۱۹۹۰ شرایط لازم و کافی برای تعامل موجک‌ها توسعه لاؤتون<sup>۲</sup> [12] و در سال ۱۹۹۲ نظریه موجک‌های دو بدو متعامد توسط کوهن<sup>۳</sup> و همکارانش برای رفع مشکل اساسی نامتقارن بودن موجک‌ها ارائه گردید [13]. موجک‌ها در زمینه‌های مختلفی از علوم و مهندسی مانند پردازش تصاویر، پردازش سیگنال [6] و آنالیز عددی [14] کاربرد فراوانی دارند.

## ۲-۲ آنالیز موجک

آنالیز موجک یکی از دستاوردهای نسبتاً جدید و قابل توجه در ریاضیات محض است، و پیشینه چندین دهه تحقیق و پژوهش در آنالیز هارمونیک (همساز) را دارد. آنالیز موجک امروزه کاربردهای مهمی در بسیاری از رشته‌های علوم و مهندسی دارد و امکانات جدیدی برای درک جنبه‌های ریاضی آن و نیز افزایش کاربردهایش فراهم شده است. در آنالیز موجک هم مانند آنالیز فوریه با بسط توابع روبرو هستیم، ولی این بسط بر حسب موجک‌ها انجام می‌شود. موجک تابع مشخص مفروضی با میانگین صفر است و بسط بر حسب انتقال‌ها و اتساع‌های این توابع انجام می‌گیرد، بر خلاف چند جمله‌ای های مثلثاتی، موجک‌ها در فضا به صورت موضعی بررسی می‌شوند و به این ترتیب ارتباط نزدیکتری بین توابع و ضرایب آن‌ها برقرار می‌شود، و پایداری عددی بیشتری در بازسازی و محاسبات فراهم می‌گردد. هر کاربردی را که مبتنی بر تبدیل سریع فوریه است می‌توان با استفاده از موجک‌ها فرمول بندی کرد و اطلاعات مکانی (یا زمانی) موضعی بیشتری بدست آورد. بطور کلی، این موضوع بر پردازش سیگنال و تصویر و الگوریتم‌های عددی سریع برای محاسبه‌ی عملگرهای انگرالی اثر می‌گذارد. آنالیز موجک، حاصل ۵۰ سال کار ریاضی است که طی آن، با توجه به مشکلاتی که در پاسخ دادن به ساده ترین پرسش‌های مربوط به تبدیل فوریه وجود داشت، جانشینی‌های انعطاف‌پذیر ساده تری از طریق آنالیز همساز ارائه شد. مستقل از این نظریه که درون ریاضیات محض جای دارد، صورت‌های مختلفی از این رهیافت را در طی دهه‌ی گذشته در پردازش تصویر، آکوستیک، کدگذاری (به شکل‌های آبینه ای متعامد و الگوریتم‌های هرمی)، و استخراج نفت دیده ایم. آنالیز موجک همراه با تبدیل سریع فوریه در تحلیل سیگنال‌های گذراخی که سریعاً تغییر می‌کنند، صدا و سیگنال‌های صوتی، جریان‌های الکتریکی در مغز، صدای زیرآبی ضربه‌ای و داده‌های طیف نمایی<sup>۴</sup> و در کنترل نیروگاه‌های برق از طریق صفحه‌ی نمایش کامپیوتر به کار می‌رود. همچنین عنوان ابزاری علمی، برای روش ساختن ساختارهای پیچیده ای که در تلاطم (مانند موج دریا)، جریان‌های جوی، و در بررسی ساختارهای ستاره‌ای از آن استفاده می‌شود. این آنالیز به عنوان یک ابزار عددی می‌تواند مانند تبدیل سریع فوریه تا حد زیادی از پیچیدگی مقیاس بزرگ محاسبات بکاهد، بدین ترتیب که با تغییر ضربی هموار سازی، ماتریسهای متراکم را به شکل ماتریسهای تنکی که به سرعت قابل محاسبه باشد در آورد. آنالیز موجک

---

1 Wavelet Analysis

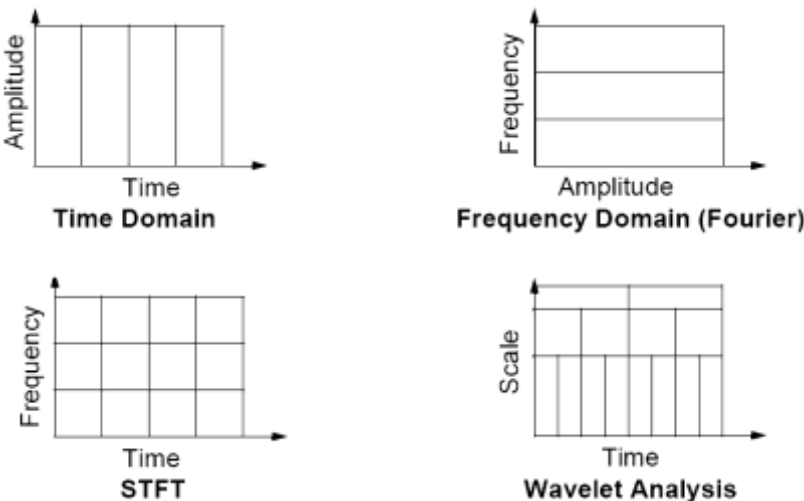
2 Lawton

3 Cohen

4 NMR

امروزه کاربردهای فراوانی پیدا کرده است که از آن جمله می‌توان به کاربرد آن در تصویر برداری پزشکی<sup>۱</sup>، سی‌تی اسکن<sup>۲</sup>، جداسازی بافت‌های مغزی از تصاویر تشخیص مغناطیسی، تراشه‌های هوشمند، تحلیل تصاویر طیفی تشخیص مغناطیسی<sup>۳</sup> و عملکردهای تشخیص مغناطیسی<sup>۴</sup> اشاره نمود.[15]

آنالیز موجکی تکنیکی کارآمد جهت آنالیز و تقریب سازی سیگنال‌های ناپایدار بوده و قادر است به خوبی محتوای فرکانسی و اطلاعات زمانی مربوطه را تفکیک نموده و نشان دهد. همچنین موجک‌ها توانایی تحلیل زمان-فرکانس بصورت محلی را نیز دارند. به این معنی که یک ناحیه مشخص از یک موج، با بزرگنمایی آنالیز شده تا جزئیات بیشتری از اطلاعات زمان-فرکانسی در اختیار قرار دهد. برخلاف تبدیل فوریه که در موج‌های دارای ناپیوستگی قادر به تشخیص محل ناپیوستگی نیست، تبدیل موجکی بطور واضح زمان دقیق ناپیوستگی را نشان می‌دهد. آنالیز موجکی توانایی نشان دادن جزئیاتی را دارد که بقیه روشها آن را در نظر نگرفته و یا حذف می‌کنند (نظیر نقاط تفکیک)، ناپیوستگی در مشتقات مرتبه بالا و...).[16] شکل (۱-۲) تفاوت روش‌های مطرح شده را بطور ساده نشان می‌دهد.



شکل (۱-۲) مقایسه روش‌های مختلف تحلیل سیگنال‌ها

همانگونه که در شکل فوق ملاحظه می‌گردد در آنالیز موجکی، عرض پنجره تحلیل در محور زمان و محور فرکانس متغیر بوده و می‌تواند مقادیر مختلفی داشته باشد در حالیکه در آنالیز فوریه پنجره‌ای، پنجره فوق ثابت بوده و تغییر نمی‌نماید.

1 MRI

2 CAT

3 MR Spectroscopy

4 FMRI

## ۳-۲ کاربرد موجک ها در علوم مختلف

پیدایش موجک ها تحول عظیمی را در بسیاری از شاخه های علوم مختلف از قبیل دینامیک مولکولی، فیزیک، نجوم، زلزله شناسی، اپتیک، مکانیک کوانتم، پردازش تصویر، آنالیز هواشناسی، فشار خون، ضربان قلب، آزمایش دی ان ای و پردازش گفتار و غیره پدید آورده است. در زیر به طور خلاصه به بیان برخی از این پیشرفت ها می پردازیم.

### - بینایی مصنوعی برای رباتها

در اوایل دهه ۱۹۸۰ ، دیوید مار در لابراتوار هوش مصنوعی دانشگاه ام آی تی شروع به کار روی بینایی مصنوعی برای ربات ها نمود. او با مطالعه سیستم بینایی انسان در پی یافتن راهی برای ساخت ربات های بینا بود. وی در تحقیقاتش را روی جوانب میکانیکی و غیر ارادی بینایی انسان متمرکز نمود. تئوری مار، که بر روی پردازش تصویر در سیستم بینایی انسان استوار بود، ساختار پیچیده ای دارد که شامل چندین مرحله پردازش است. در هر مرحله از پردازش، سیستم شبکیه مستمراً یک نمایش از تصویر به شیوه ای هندسی، مقیاس بندی می کند. اما مباحث مار عمدتاً به کشف شدت تغییرات مرتبط بودند. او بیان کرد که شدت تغییرات در مقیاس های مختلف یک تصویر رخ می دهند. نابراین شناسایی بهینه آن ها مستلزم استفاده از اپراتورهایی در اندازه های مختلف است. او هم چنین بیان کرد که تغییرات ناگهانی در اولین پردازش تصویر باعث به وجود آمدن قله یا دره می شوند. برای بررسی این دو فرضیه باید یک فیلتر بینایی با دو ویژگی مورد استفاده قرار گیرد؛ اول این که باید یک اپراتور دیفرانسیل باشد و دوم این که قادر به عمل در هر مقیاس مطلوب باشد. اپراتوری که مار آن را به کار برد ، یک موجک بود که امروزه موجک مار نامیده می شود.

### - استفاده از تبدیل موجک برای استخراج ویژگیهای سیگنال EEG

سیگنال بینایی EEG به عنوان نشان گر فعالیت مغز، اطلاعات غنی درباره عملکرد و وضعیت مغز دارد. امروزه پس از پشت سر گذاشتن مشکلات ثبت این سیگنال ضعیف، پردازش و تحلیل آن اهمیت ویژه ای دارد. زیرا تفسیر آن کاری مشکل بوده و اکثر اطلاعات موجود در آن با چشم قابل مشاهده نیستند. از طرفی متخصصان بیهوشی نیاز به پارامتری معادل با سطح هوشیاری دارند و ارزیابی تغییرات آن با وضعیت EEG که لازمه آن کمی سازی اطلاعات موجود در سیگنال هوشیاری است. روش های مختلف در این زمینه ارائه شده اند. اخیراً تبدیل موجک که یک تبدیل زمان - فرکانس است ، برای کمی سازی این سیگنال مورد استفاده قرار گرفته است که نسبت به سایر روش های ارائه شده دارای نتایج مطلوبی است. شناسایی مشخصات ترک در المان های سازه ای از طریق تبدیل موجک بسیاری از شکست های سازه ای به علت گسیختگی مواد تشکیل دهنده رخ می دهد. این گسیختگی ها با ترک توام می باشند و در صورت گسترش تهدیدی جدی برای رفتار سازه محسوب می شوند. به همین جهت روش های تشخیص و نمایان سازی ترک موضوع تحقیقات گسترده ای می باشد که تا کنون انجام شده و متدهای فراوانی برای آن ارائه شده اند که به مدیریت رفتار و عملکرد مورد انتظار از سازه می پردازند. تاثیر ترک

در رفتار دینامیکی سازه به صورت تغییرات موضعی سختی است. روش های گوناگونی در راستای بررسی و تشخیص این تغییرات ارائه شده است که هر کدام دارای توانایی ها و ضعف هایی می باشند. یکی از روش های کلاسیک در این زمینه تبدیل فوریه می باشد که اطلاعات مربوط به فرکانس های موجود در یک سیگنال را ارائه می کند و لیکن از زمان رخ دادن یک فرکانس خاص هیچ اطلاعی به دست نمی دهد. برای تشخیص مکان ترک آگاهی از زمان رخ دادن یک فرکانس اهمیت ویژه ای دارد. به این ترتیب تبدیل فوریه در این مورد با ضعف مواجه می شود. روش جدید و کارآمدی که در سالهای اخیر مورد توجه محققین قرار گرفته تبدیل موجکاست که قابلیت بالایی در شناسایی ناپیوستگی ها و یا ناهمانگی ها مانند کاهش ناگهانی سختی دارد. نتایج کار با موجک ها در این زمینه نشانگر کارایی بالای آن ها در تشخیص زمان و مکان ترک می باشد. تشخیص آوای صدا دار از آوای بی صدا به کمک تبدیل موجک تشخیص صوت از شاخه های مهم و کاربردی در مبحث پردازش گفتار می باشد. الگوریتم ها و تبدیل های مختلفی در این زمینه ارائه شده است که دارای مزايا و معایبی می باشند. اما یکی از تبدیل های کاربردی و موفق در این راستا تبدیل موجک می باشد که کاربرد قابل توجهی در تشخیص آوای صدا دار از آوای بی صدا دارد. مزیت تبدیل موجک نسبت به سایر تبدیل ها در این است که الگوریتم های ارائه شده با تبدیل موجک قابلیت تبدیل شدن به سخت افزار دارند و چون در بیشتر مواقع سرعت اجرا و اعلام نتایج سخت افزار نسبت به نرم افزار بیشتر است، انتخاب این تبدیل ها در کاربردهای مذکور بیشتر مورد توجه می باشد [17].

چند دسته مهم از کاربردهای پردازش تصویر با استفاده از موجک به شرح زیر می باشند:

- کاربردهای عکاسی مانند ارتقا و بازسازی تصاویر قدیمی، بازسازی تصاویر خراب شده با نویز و بهبود ظاهر تصاویر معمولی.
  - کاربردهای پزشکی مانند ارتقا ویژگی های تصاویر اشعه ایکس، تولید تصاویر ماموگرافی، ام آر آی و سی تی اسکن.
  - کاربردهای امنیتی مانند تشخیص حرکت در دزدگیرها، تشخیص اثر انگشت، تشخیص چهره و تشخیص امضا.
  - کاربردهای نظامی مانند تشخیص و رهگیری خودکار اهداف متحرک یا ثابت از هوا یا زمین.
  - کاربردهای سنجش از راه دور مانند ارتقاء و تحلیل تصاویر هوایی و ماهواره ای برداشته شده از مناطق مختلف جغرافیایی که در کاربرهای نقشه برداری، کشاورزی، هواشناسی و موارد دیگر مفید هستند.
  - کاربردهای فشرده سازی تصویر مانند ذخیره سازی، ارسال تصاویر تلویزیون با کیفیت بالا و ارسال تصاویر متحرک و زنده از روی شبکه اینترنت و یا خط تلفن.
  - کاربردهای صنعتی مرتبط با خودکار سازی صنایع مانند تفکیک محصولات مختلف براساس شکل یا اندازه، آشکارسازی نواقص و شکستگی های موجود در محصولات، تعیین محل اشیاء و اجرای فرایند تولید با استفاده از روبات ها و بینایی ماشین.
- برخی دیگر از کاربردهای آنالیز موجک عبارتند از:

- یافتن نقاط ناپیوسته در سیگنال
- نویزبرداری از سیگنال
- فشرده سازی سیگنال
- فشرده سازی تصاویر
- حل معادلات دیفرانسیل و ...

## ۴-۲ تعاریف و قضیه ها

در این بخش، برخی از مفاهیمی که در موجک ها کاربرد فراوانی دارند، معرفی و تعدادی از قضایا و تعاریف مربوط به آن ها را مروء می کنیم.

تعریف:  $L^p(a, b)$  یک فضای تابعی است که عناصر آن توابع اندازه پذیر روی بازه  $(a, b)$  بوده و در شرط زیر صدق می کنند:

$$f(x) \in L^p(a, b), \int_a^b |f(x)|^p dx < \infty \quad (1-2)$$

در تعریف فوق اگر قرار دهیم  $p=2$  فضای تابع به طور مربعی انتگرال پذیر می باشد. ضرب درونی دو تابع  $u, v$  در این فضا به صورت زیر تعریف می شود:

$$(u(x), v(x)) = \int_a^b u(x) v(x) dx \quad (2-2)$$

بنابراین  $L^2(a, b)$  یک فضای ضرب درونی می باشد. نرم تابع  $u$  در این فضا به شکل زیر تعریف می شود:

$$\|u\| = \sqrt{(u, u)} = \left( \int_a^b u^2(x) dx \right)^{\frac{1}{2}} \quad (3-2)$$

تعریف: مجموعه توابع  $f_i$  یک پایه ریس<sup>1</sup> برای  $L^2(a, b)$  نامیده می شود هرگاه:

۱. هر عضو  $u$  در  $L^2(a, b)$  را بتوان به صورت ترکیب خطی از اعضای  $f_i$  نوشت. یعنی:

$$u(x) = \sum_i c_i f_i(x) \quad (4-2)$$

بعارت دیگر:  $\mathcal{A}$

$$\text{span}\{\overline{f_i, i \in Z}\} = L^2(a, b) \quad (5-2)$$

۲. اعداد مثبت  $A, B$  موجود باشند بگونه ایکه برای هر  $u$  دلخواه از فضا با ترکیب خطی رابطه

بالا داشته باشیم:

$$A\|u\|^2 \leq |c_i|^2 \leq B\|u\|^2 \quad (6-2)$$

تعریف: تابع دلتای کرونکر<sup>۱</sup> به صورت زیر تعریف می شود:

$$\delta_{ij} = \begin{cases} 1 & i = j \\ 0 & i \neq j \end{cases} \quad (7-2)$$

تعریف: محمول<sup>۲</sup> تابع  $R \rightarrow \Omega$ : بستار مجموعه تمام نقاطی مانند  $\Omega \in \Omega$  است که  $f(x) \in f$  مخالف صفر باشد و آن را با نماد زیر نمایش می دهیم:

$$\text{supp}(f) = \overline{\{x \in \Omega | f(x) \neq 0\}} \quad (8-2)$$

اگر محمول تابع  $f$  زیر مجموعه ای فشرده از  $R^n$  باشد، آنگاه می گوییم تابع  $f$  محمول فشرده<sup>۳</sup> دارد.  
یک مثال معروف از توابع با محمول فشرده، تابع بی شمار بار مشتق پذیر زیر است:

$$\xi(x) = \begin{cases} \exp(\frac{1}{x^2 - 1}), & |x| < 1 \\ 0, & |x| > 1 \end{cases} \quad (9-2)$$

که محمول این تابع بازه  $(-1, 1)$  است.  
مثال معروف دیگر از این قبیل توابع، تابع

$$h(x) = \begin{cases} 1 & 0 \leq x < 1 \\ 0 & \text{در غیر این صورت} \end{cases} \quad (10-2)$$

که به تابع مقیاس هار<sup>۴</sup> معروف است. محمول آن بازه  $[0, 1]$  بوده و در معادله

$$h(x) = h(2x) + h(2x - 1) = h(2x) + h_1(2x) \quad (11-2)$$

صدق می کند که در آن  $(k \in Z)$ ,  $h_k = h(x - k)$ . این تابع بر انتقال های صحیح خود عمود است، یعنی:

$$(h, h_k) = \int h(x)h(x - k)dx = \delta_{0k} \quad (12-2)$$

تعریف: یکی از مفاهیم اساسی نظریه موجک کلاسیک معادله مقیاس<sup>۵</sup> است که به صورت زیر تعریف می شود.

$$\emptyset(x) = \sum_{k \in Z} a_k \emptyset(2x - k) \quad (13-2)$$

که در آن  $\emptyset$  را تابع مقیاس می نامند.

با کمک تابع مقیاس، مفاهیمی همچون تقریب های چند ریزگی<sup>۶</sup> موجکها، گستته سازی سریع<sup>۷</sup> و الگوریتم های اصلاحی<sup>۸</sup> معرفی می شوند. برای مشاهده جزئیات بیشتر می توان به مراجع [18] و [19] مراجعه نمود.

تعریف: تابع  $C \rightarrow \emptyset$ : را تابع مقیاس<sup>۹</sup> می نامیم، اگر در معادله زیر صدق کند.

1 Kronecker delta

2 Support

3 Compact support

4 Haar scaling function

5 Scaling or Refinable equation

6 Multi Resolution Approximation

7 Fast decomposition

8 Reconstruction algorithms

9 Scaling function

$$\phi(x) = \sum_{k=k_0}^{k_1} a_k \phi(2x - k) \quad (14-2)$$

که در آن  $a_k \in C$  را ضریب مقیاس می نامند.

موجک  $\{\phi_{j,k}\}$  یک موجک متعامد<sup>1</sup> نامیده می شود، اگر مجموعه توابع

$$\{\phi_{j,k}(x)\}_{k \in \mathbb{Z}} \quad \text{که } \phi_{j,k}(x) = \left\{ 2^{\frac{j}{2}} \phi(2^j x - k) \right\}_{k \in \mathbb{Z}}$$

$$\langle \phi_{j,k}, \phi_{l,m} \rangle = \delta_{j,l}, \delta_{m,k}, \quad m, l, j, k \in \mathbb{Z} \quad (15-2)$$

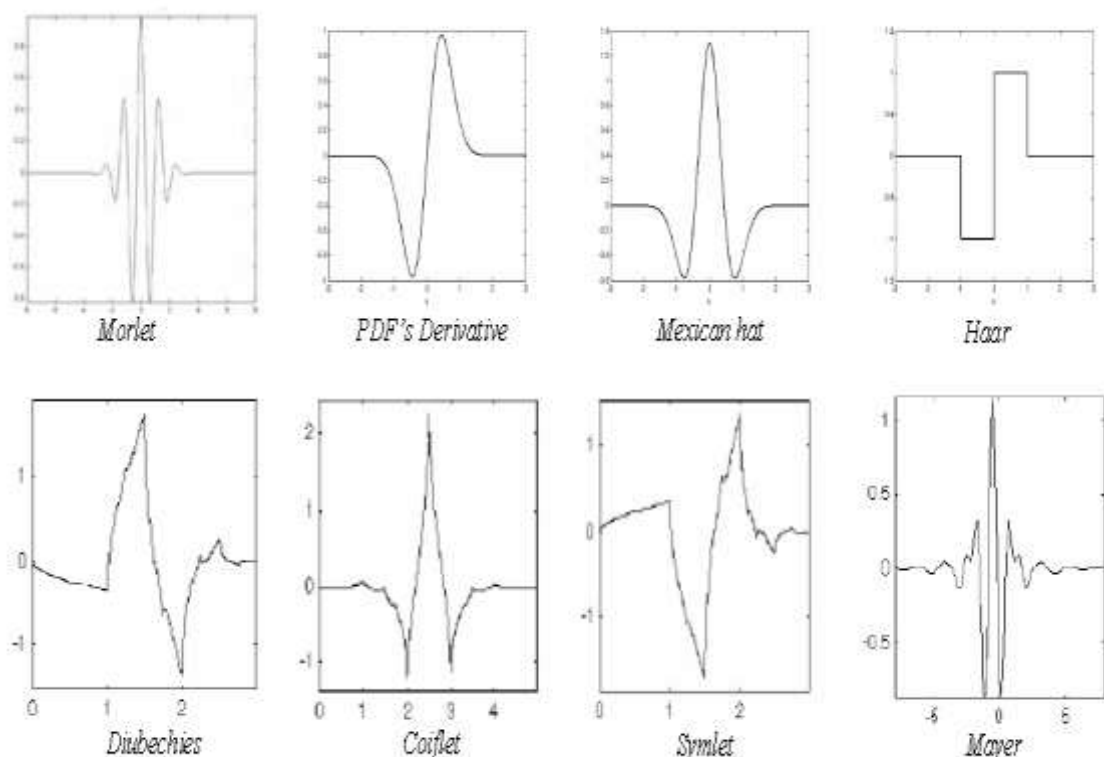
ولی اگر

$$\langle \phi_{j,k}, \phi_{l,m} \rangle = 0 \quad j \neq l \quad (16-2)$$

موجک  $\phi$  موجک شبیه متعامد نامیده می شود.

موجکهایی که به طور وسیع در پردازش سیگنال مورد استفاده قرارمی گیرند، موجکهای متعامد هستند.

در کاربردهای مذکور بر خلاف روش‌های حل معادلات انتگرال خود موجک هیچ گاه ساخته نمی شود و توابع مقیاس و ضرایب بسط موجک مورد نیاز هستند. در شکل (۲-۲) نمودار تعدادی از توابع موجک رسم شده است.



شکل (۲-۲): نمودار تعدادی از توابع هار (موجک مادر) [18]

1 Orthogonal

مثال: تابع هار<sup>۱</sup> یک تابع متعامد است و در معادله زیر صدق کند.

$$\emptyset(x) = \emptyset(2x) + \emptyset(2x - 1) \quad (17-2)$$

زیرا برای  $k \neq 0$  محمول توابع  $\emptyset(x - k)$  و  $\emptyset(x)$  تنها یک نقطه مشترک می‌توانند داشته باشند.

مثال: تابع کلاهی<sup>۲</sup> به صورت زیر تعریف می‌شود

$$\emptyset(x) = \begin{cases} 1+x & -1 \leq x \leq 0 \\ 1-x & 0 < x \leq 1 \\ 0 & \text{در غیر این صورت} \end{cases} \quad (18-2)$$

$\emptyset(x)$  در معادله مقیاس زیر صدق می‌کند

$$\emptyset(x) = \frac{1}{2}\emptyset(2x+1) + \emptyset(2x) + \frac{1}{2}\emptyset(2x-1) \quad (19-2)$$

که یک تابع متعامد نمی‌باشد.

تعریف: اگر ثابت هائی مانند  $A, B$  موجود باشند که  $B < A \leq 0$  به طوری که برای هر دنباله  $\{c_k\} \in L^2$  داشته باشیم

$$A \sum_k |c_k|^2 \leq \|\sum_k c_k^* \emptyset(x-k)\|_2^2 \leq B \sum_k |c_k|^2 \quad (20-2)$$

آن گاه تابع مقیاس  $\emptyset \in L^2$  دارای انتقال پایدار است.

با فرض  $A = B = 1$  اگر تابع  $\emptyset$  متعامد باشد، پایدار نیز خواهد بود [18].

تعریف: دنباله‌ی  $\{V_n\}_{n=-\infty}^{\infty}$  از زیر فضاهای  $L^2$  را یک تقریب چندریزگی ( $R$  می‌نامیم هر گاه  $\dots \subset V_{-1} \subset V_0 \subset V_1 \subset V_2 \subset \dots$

و دارای خواص زیر نیز باشد

$$U_n V_n \in L^2(R) \quad .1$$

$$U_n V_n = \{0\} \quad .2$$

$$f(x) \in V_n \leftrightarrow f(2x) \in V_{n+1} \quad \forall n \in Z \quad .3$$

$$f(x) \in V_n \leftrightarrow f(x - 2^{-n}k) \in V_n \quad \forall n, k \in Z \quad .4$$

.5. تابعی مانند  $\emptyset \in L^2$  وجود دارد به طوری که  $\emptyset(x-k) : k \in Z$  تشکیل یک پایه

پایدار برای  $V_0$  می‌دهد.

این تابع پایه‌ای  $\emptyset$  را تابع مقیاس می‌نامند. MRA را متعامد گویند اگر  $\emptyset$  متعامد باشد. ویژگیهای اول و دوم نشان می‌دهند که  $\{V_n\}_{n=-\infty}^{\infty}$  یک دنباله تو از زیر فضاهایی است که  $(R)$  را می‌پوشاند. یعنی اینکه هر تابع به طور مربعی انتگرال پذیر می‌تواند به هر اندازه دلخواه با تابعی که متعلق به حداقل یکی از زیر فضاهای  $\{V_n\}$  است، تقریب زده شود. ویژگی سوم بیان می‌کند که زیر فضاهای فوق می‌توانند از طریق تظریف با توانهایی از ۲ از یکدیگر مشتق شوند. همچنین ویژگی مذکور یک

1 Haar function

2 Hat function

تفسیر شهودی از ویژگیهای دنباله  $\{V_n\}$  را ارائه می‌دهد. عنوان مثال تابع  $f(2x)$  ویژگیهای ظرفی تری نسبت به  $(x)$  را داراست بنابراین دنباله فوق به زیر فضای بالاتری متعلق است.

تصویر متعامد یک تابع دلخواه  $L^2$  روی  $V_n$  به صورت زیر معرفی می‌شود

$$P_n f = \sum_k \langle f, \phi_{n,k} \rangle \phi_{n,k} \quad (21-2)$$

می‌گوییم که توابع در  $V_n$  دارای مقیاس  $2^{-n}$  هستند و  $P_n f$  را تقریبی از  $f$  در مقیاس  $2^{-n}$  گوییم. لم: به ازای هر  $f \in L^2$  وقتی که  $n \rightarrow \infty$  آنگاه  $f \rightarrow P_n f$  در  $L^2$  [18].

تعریف: تابع مقیاس  $\emptyset$  دارای مرتبه تقریب  $q$  است اگر

$$\|f - p_n f\| = O(2^{-nq}) \quad (22-2)$$

تعریف: چند موجکها تعمیمی از موجکها هستند، که تابع مقیاس آن به صورت تابع برداری زیر نشان داده می‌شود

$$\emptyset(x) = \begin{pmatrix} \emptyset_1(x) \\ \vdots \\ \emptyset_r(x) \end{pmatrix} \quad (23-2)$$

معادله مقیاس نظیر تابع چند مقیاس<sup>1</sup>  $\emptyset(x)$  به صورت زیر تعریف می‌شود.

$$\emptyset(x) = \sqrt{m} \sum_{k_0}^{k_1} H_k \emptyset(mx - k), \quad k \in Z \quad (24-2)$$

که در آن  $m \geq 2$  را فاکتور تأخیر می‌نامند و ضرایب  $H_k$  ماتریس‌های  $r \times r$  می‌باشند.

تابع مقیاس برداری را متعامد گویند هرگاه

$$\langle \emptyset(x), \emptyset(x - k) \rangle = \int_R \emptyset(x) \emptyset(x - k)^* dx = \delta_{0,k}, I \quad (25-2)$$

این ضرب داخلی یک ماتریس  $r \times r$  است.

چند موجک‌ها نسبت به موجک‌ها دارای مزایایی هستند. از جمله می‌توان به کوچک بودن محمل، همواری و مرتبه تقریب بالا، متقارن و متعامد بودن آن‌ها اشاره کرد.

## ۲-۵ توابع هار

موجک هار رده‌ای خاص از توابع است که به عنوان اولین موجک شناخته می‌شود. این رده از موجک‌ها اولین بار توسط آلفرد هار، ریاضیدان مجارستانی در سال ۱۹۰۹ پیشنهاد شد. موجک‌هار ساده‌ترین موجک ممکن می‌باشد. مشکل این موجک این است که پیوسته نیست و در نتیجه مشتق پذیر نمی‌باشد. تابع مقیاس  $\emptyset_0(t)$  برای توابع هار به صورت زیر تعریف می‌شود.

$$\emptyset_0(t) = \begin{cases} 1, & 0 \leq t < 1 \\ 0, & \text{در غیر این صورت} \end{cases} \quad (26-2)$$

همچنین  $(t)\psi$  را موج مادر می‌نامند، و به صورت زیر تعریف می‌شود.

<sup>1</sup>Multiscaling function

$$\psi(t) = \begin{cases} 1, & 0 \leq t < \frac{1}{2} \\ -1, & \frac{1}{2} \leq t < 1 \\ 0, & \text{در غیر این صورت} \end{cases} \quad (27-2)$$

مابقی توابع هار با در نظر گرفتن دو عملگر انتقال و تاخیر از موج مادر طبق معادله زیر تولید می شود.

$$\psi_{n,k}(t) = \left\{ 2^{\frac{n}{2}} \psi(2^n t - k) \right\}, \quad n, k \in \mathbb{Z}, \quad t \in \mathbb{Z} \quad (28-2)$$

از آن جایی که موجک های هار متعامد هستند، بنابراین داریم

$$\int_{-\infty}^{\infty} \psi(2^{n_1}t - k_1) \psi(2^{n_2}t - k_2) dt = \delta_{n_1, n_2} \delta_{k_1, k_2} \quad (29-2)$$

## ۶-۲ توابع هار گویا

مجموعه متعامد از موجک های هار، گروهی از موجک های مربعی با  $i = 0, 1, \dots, 2^{\frac{i}{2}}$  برای ...،  $-2^{\frac{i}{2}}$  برای ...، هستند. لینچ<sup>1</sup> [20] و ریز<sup>2</sup> [21, 22] برای اولین بار، از موجک های گویا، با حذف ضرایب توان های دو از ابتدای موجک های هار، استفاده نمودند. این تغییرات موجب ظهرور و استفاده از نوع جدیدی از موجک ها بنام موجک های هار گویا<sup>3</sup> گردید.

تبديلات توابع هار گویا تمام ویژگی های تبدیلات هار اصلی را دارا بوده و می توانند به طور موثر و کارامدتری در مسائل کاربردی مورد استفاده قرار گیرند. موجک های توابع هار گویا تنها دارای سه دامنه نوسان  $+1$  و  $-1$  و  $0$  می باشند. از این رو کار کردن با این موجک ها بسیار ساده می باشد.

تعريف: توابع هار گویای  $h_l(t)$  برای هر  $l = 1, 2, \dots$  با  $i = 0, 1, \dots$  به صورت  $h_l(t) = RH(2^i t - l)$  تعريف می شود.

$$RH(2^i t - l) = \begin{cases} 1, & j2^{-i} \leq t < (j + \frac{1}{2})2^{-i} \\ -1, & (j + \frac{1}{2})2^{-i} \leq t < (j + 1)2^{-i} \\ 0, & \text{در غیر این صورت} \end{cases} \quad (30-2)$$

برای عدد صحیح ...،  $i = 0, 1, \dots, 2^i - 1$ ،  $j = 0, 1, \dots, 2^i - 1$  پارامتر انتقال می باشد.

گزاره: در توابع  $RH$  برای هر  $q \in \mathbb{Z}^+ \cup \{0\}$  خاصیت ضرب پذیری برای هر  $0 < l < q$  عبارتست از:

<sup>1</sup> Lynch

<sup>2</sup> Reis

<sup>3</sup> Rationalized Haar (RH) wavelet

- ۱ اگر  $l = 0$  باشد آن گاه  $h_l(t)h_q(t) = h_q(t)$
  - ۲ اگر  $h_q$  در نیمه مثبت موج  $h_l$  قرار گیرد آن گاه  $h_l(t)h_q(t) = h_q(t)$
  - ۳ اگر  $h_q$  در نیمه منفی موج  $h_l$  قرار گیرد آن گاه  $h_l(t)h_q(t) = -h_q(t)$
- لهم: دنباله  $\{h_n\}_{n=0}^{\infty}$  یک مجموعه متعامد کامل در فضای  $L^2[0,1]$  است [23]

تعريف: اگر  $\{0\} \cup \{0\} \cup \{2^i \dots 1, 0, 1, \dots, 2^i\} \subset Z^+$  در این صورت خاصیت تعامدی به صورت زیر تعریف می گردد.

$$\langle h_l(t), h_q(t) \rangle = \int_0^1 h_l(s) h_q(s) ds = \begin{cases} 2^{-i}, & l = q = 2^i + j \\ 1, & l = q = 0 \\ 0, & l \neq q \end{cases} \quad (31-2)$$

لهم: اگر  $f(t) \in C[0,1]$  باشد، آنگاه سری

$$\sum_n 2^i \langle f(t), h_n(t) \rangle h_n(t) \quad (32-2)$$

به صورت یکنواخت همگرا به  $f(t)$  که در آن

$$\langle f(t), h_l(t) \rangle = \int_0^1 f(s) h_l(s) ds \quad (33-2)$$

اگر تابع  $f(t) \in L^2([0,1])$  و بردار های  $C$  و  $H_m(t)$  به صورت زیر

$$C = [c_0, c_1, \dots, c_{m-1}]^T \quad (34-2)$$

$$H_m(t) = [h_0(t), h_1(t), \dots, h_{m-1}(t)]^T \quad (35-2)$$

و

تعريف شوند، آنگاه تابع  $f(t)$  را می توان به صورت تعداد متناهی جمله از توابع  $RH$  به صورت زیر تقریب زد.

$$f(t) \cong \sum_{l=0}^{m-1} c_l h_l(t) = C^T H_m(t) \quad (36-2)$$

که در آن  $m = 2^{\alpha+1}$  و  $c_l$  ضرایب توابع  $RH$  به صورت زیر محاسبه می شود.

$$c_l = \frac{\langle f(t), h_l(t) \rangle}{\langle h_l(t), h_l(t) \rangle} \quad (37-2)$$

تعريف: اگر  $h_l(t)$  یک موجک هار گویا باشد در این صورت انتگرال آن عبارت است از

$$\int_0^1 h_l(s) ds = \begin{cases} 1, & l = 0 \\ 0, & l \neq 0 \end{cases} \quad (38-2)$$

بنابراین با استفاده از تعریف  $H_m(t)$  داریم

$$\int_0^1 H_m(s) ds = V_m \quad (39-2)$$

و

$$\int_0^t H_m(s) ds = P H_m(t) \quad (40-2)$$

که در آن  $V_m = [1, 0, 0, \dots, 0]$  و

$$P = P_{m \times m} = \frac{1}{2m} \begin{pmatrix} 2mP_{\frac{m}{2} \times \frac{m}{2}} & -\Phi_{\frac{m}{2}} \\ \Phi_{\frac{m}{2}}^{-1} & 0 \end{pmatrix} \quad (41-2)$$

و

$$\Phi_m = \left[ H_m \left( \frac{1}{2m} \right), H_m \left( \frac{3}{2m} \right), \dots, H_m \left( \frac{2m-1}{2m} \right) \right] \quad (42-2)$$

که در آن

$$\Phi_1 = [1], \quad P_{1 \times 1} = \begin{bmatrix} 1 \\ 2 \end{bmatrix} \quad (43-2)$$

و

$$D_{m \times m} = \text{diag} \left( 1, 1, 2, 2, 2^2, \dots, 2^2, \dots, \frac{m}{2}, \dots, \frac{m}{2} \right) \quad (44-2)$$

بنابراین معکوس  $\Phi_m$  عبارت است از

$$\Phi_m^{-1} = \left( \frac{1}{m} \right) \Phi_m^T D_{m \times m} \quad (45-2)$$

هر تابع دلخواهی مانند  $y(t)$  را که

$$\int_0^1 y^2(t) dt < \infty \quad (46-2)$$

باشد را می توان بر حسب موجک های هار به صورت زیر بسط داد [24,25].

$$y(t) = c_0 h_0(t) + c_1 h_1(t) + c_2 h_2(t) + \dots \quad (47-2)$$

که در آن

$$c_i = \int_0^1 y(t) h_i(t) dt \quad (48-2)$$

## ۷-۲ حل معادلات دیفرانسیل با استفاده از موجک هار

در آنالیز عددی، حل معادله دیفرانسیل معمولی و جزئی معمولاً پیچیده و خسته کننده می باشد و همچنین روش اجرایی آن بسیار آهسته صورت می پذیرد. معمولاً در حل معادلات مربوط به رشته های مهندسی روش اجرایی سریع مد نظر می باشد. یک روش ساده و سریع محاسباتی در حل معادلات مربوطه، استفاده از موجک می باشد.

آنالیز موجک محاسبات طولانی را کوتاه تر و همچنین محاسبات را بوسیله دستور و فرمانهای نرم افزاری انجام می دهد، که کمک شایانی در حل معادلات مربوطه خواهد داشت.

می دانید که تبدیل موجک یا آنالیز موجک در چند سال اخیر وسیله بسیار موثری در حل معادلات دیفرانسیل های معمولی و خطی بوده به طوری که علاوه بر حل معادلات تبدیل موجک در پردازش تصویر، فشرده سازی اطلاعات، حذف نویز و ... پیشرفت های چشمگیری داشته است.

در حل معادله دیفرانسیل با استفاده از روش های موجک افرادی به نام چن و هیسو ماتریس عملگری از پایه های انتگرال را روی موجک هار پیدا کردند و توانستند معادلات دیفرانسیل مورد بررسی را حل کنند.

معادلات دیفرانسیل مراتب بالاتر توسط لپیک حل شد و علاوه بر آن لپیک از تبدیل موجک هار برای حل معادلات دیفرانسیل معمولی غیر خطی استفاده کرد.

تبدیل موجک هار توسطتابع پله ای  $\Psi(x)$  به صورت زیر تعریف می شود.

$$\Psi(x) = \begin{cases} 1 & 0 \leq x \leq 0.5 \\ -1 & 0.5 \leq x \leq 1 \\ 0 & \text{در غیر این صورت} \end{cases} \quad (49-2)$$

که به این موجک، موجک مادر گفته می شود.

مابقی توابع هار با در نظر گرفتن دو عملگر انتقال و تاخیر از موج مادر طبق معادله زیر تولید می شود.  
 $\Psi(x) = \Psi(2^i x + k) \quad (50-2)$

$$\begin{cases} \Psi(x) = \Psi(x + k) & \text{جابجایی یا انتقال} \\ \Psi(x) = \Psi(2^i x) & \text{مقیاس یا اتساع} \end{cases} \quad (51-2)$$

این دو ویژگی برجسته موجک ها در حل معادلات دیفرانسیل بسیار موثر هستند.  
 برای حل یک معادله دیفرانسیل خطی با استفاده موجک هار خواهیم داشت.

$$A_1 y^{(n)}(x) + A_2 y^{(n-1)}(x) + \cdots + A_n y^1(x) = f(x) \quad (52-2)$$

که  $x \in [A, B]$  و با شرایط اولیه مشخص  $y^{(n-1)}(A), y^{(n-2)}(A), \dots, y^1(A)$  داریم ( $A, B$  و بازه  $m = 2(2^j)$  را به  $m$  زیر بازه تقسیم می کنیم. به طوری که  $\Delta x = \frac{B-A}{m}$  و ابعاد ماتریس  $m \times m$  خواهد بود [26].

با توجه به مقدمات و تعاریف ذکر شده در این فصل، در مرجع [26] چند گام زیر برای حل معادلات دیفرانسیل بیان شده که این الگوریتم یکی از مبانی حل معادله موضوع این پایان نامه می باشد. این گام ها عبارتند از:

گام ۱: فرض کنید

$$y^{(n)}(x) = \sum_{i=1}^m a_i h_i(x) \quad (53-2)$$

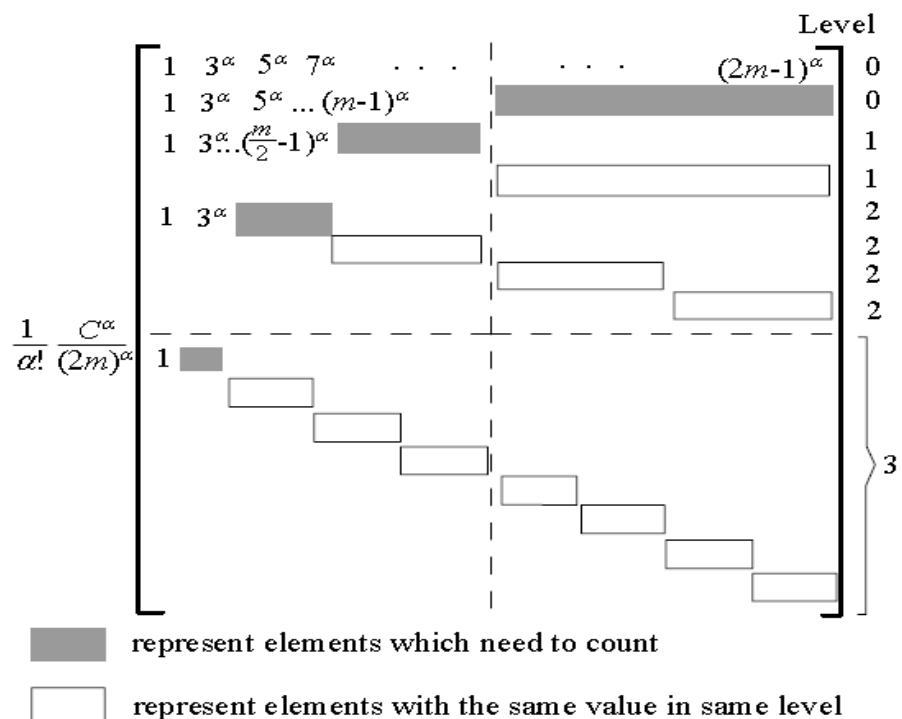
که  $h$  ماتریس هار و  $a_i$  ضرایب موجک هار می باشند.  
 ماتریس  $h$  برای میزان  $j=2$  به صورت زیر می باشد.

$$\begin{pmatrix} 1 & 1 & 1 & 1 & 1 & 1 & 1 & 1 \\ 1 & 1 & 1 & 1 & -1 & -1 & -1 & -1 \\ 1 & 1 & -1 & -1 & 0 & 0 & 0 & 0 \\ 0 & 0 & 0 & 0 & 1 & 1 & -1 & -1 \\ 1 & -1 & 0 & 0 & 0 & 0 & 0 & 0 \\ 0 & 0 & 1 & -1 & 0 & 0 & 0 & 0 \\ 0 & 0 & 0 & 0 & 1 & -1 & 0 & 0 \\ 0 & 0 & 0 & 0 & 0 & 0 & 1 & -1 \end{pmatrix}$$

: ۲ گام

$$y^{(v)}(x) = \sum_{i=1}^m a_i P_{n-v,i}(x) + \sum_{\sigma=0}^{n-v-1} \frac{1}{\sigma!} (x - A)^{\sigma} y_0^{v+\sigma} \quad (۵۴-۲)$$

محاسبه ماتریس  $P$  به صورت زیر می باشد.



گام ۳: جایگزینی  $y^{(n)}(x)$  و همه مقدار از  $y^{(v)}(x)$  داخل مسئله.

گام ۴: محاسبه کردن مولفه  $a_i$

گام ۵: به دست آوردن حل عددی برای  $y(x)$

در ادامه به مثال هایی از حل معادله دیفرانسیل با این روش اشاره خواهیم نمود.

مثال ۱: مطلوبست حل معادله دیفرانسیل زیر به ازای  $j=3$ .

$$y''(x) + y(x) = \sin x + x \cos x$$

$$x \in [0,1] \quad , \quad y(0) = 1 \quad , \quad y'(0) = 1$$

حل:

گام ۱:

$$y''(x) = \sum_{i=1}^m a_i h_i(x)$$

گام ۲

$$y^{(v)}(x) = \sum_{i=1}^m a_i P_{2,i}(x) + \sum_{\sigma=0}^{2-0-1} \frac{1}{\sigma i} (x-0)^\sigma y_0^\sigma = \sum_{i=1}^m a_i P_{2,i}(x) + 1 + x$$

گام ۳

$$\begin{aligned} y''(x) + y(x) &= \sin x + x \cos x \\ \sum_{i=1}^m a_i h_i(x) + \sum_{i=1}^m a_i P_{2,i}(x) + 1 + x &= \sin x + x \cos x \\ \sum_{i=1}^m a_i [h_i(x) + P_{2,i}(x)] &= \sin x + x \cos x - 1 - x \end{aligned}$$

ماتریس  $P$  به صورت زیر خواهد بود.

$$\left( \begin{array}{cccccccccccccccc} 1 & 3^2 & 5^2 & 7^2 & 9^2 & 11^2 & 13^2 & 15^2 & 17^2 & 19^2 & 21^2 & 23^2 & 25^2 & 27^2 & 29^2 & 31^2 \\ 1 & 3^2 & 5^2 & 7^2 & 9^2 & 11^2 & 13^2 & 15^2 & 287 & 343 & 391 & 431 & 463 & 487 & 503 & 511 \\ 1 & 3^2 & 5^2 & 7^2 & 79 & 103 & 119 & 127 & & & & & & & & \\ & & & & 1 & 3^2 & 5^2 & 7^2 & 79 & 103 & 119 & 127 & & & & \\ 1 & 3^2 & 23 & 31 & & & & & 1 & 3^2 & 23 & 31 & & & & \\ & & 1 & 3^2 & 23 & 31 & & & & 1 & 3^2 & 23 & 31 & & & & \\ & & & & & & & & & & & & 1 & 3^2 & 23 & 31 \\ \frac{1}{2!} \frac{1}{32^2} & 1 & 7 & & & & & & & & & & & 1 & 3^2 & 23 & 31 \\ & 1 & 7 & & & & & & & & & & & & 1 & 7 & & \\ & & 1 & 7 & & & & & & & & & & & & 1 & 7 & \\ & & & 1 & 7 & & & & & & & & & & & & 1 & 7 & \\ & & & & 1 & 7 & & & & & & & & & & & & 1 & 7 & \\ & & & & & 1 & 7 & & & & & & & & & & & & 1 & 7 & \\ & & & & & & 1 & 7 & & & & & & & & & & & & 1 & 7 & \\ & & & & & & & 1 & 7 & & & & & & & & & & & & 1 & 7 \end{array} \right)$$

گام ۴: محاسبه کردن مولفه  $a_i$

گام ۵: به دست آوردن حل عددی برای  $y(x)$   
تعدادی از نتایج حاصل به شرح زیر می باشد.

$x/(32)$	حل با آنالیز موجک	حل دقیق	میزان خطأ
1	1.030777	1.030767	0.000010
3	1.089527	1.089496	0.000031
5	1.144880	1.144700	0.000180
31	1.663308	1.652763	0.010545

مثال ۲: مطلوبست حل معادله دیفرانسیل زیر به ازای  $j=3$ .

$$y^{(4)}(x) + xy(x) = 16 \sin 2x + x \sin 2x \\ x \in [0,1] \quad , \quad y(0) = 0 \ , \ y'(0) = 2 \ , \ y''(0) = 0 \ , \ y'''(0) = -8$$

حل:

از گام های ۱ تا ۳ خواهیم داشت:

$$\sum_{i=1}^m a_i [h_i(x) + x P_{4,i}(x)] = 16 \sin 2x + x \sin 2x - 2x^2 + \frac{4}{3}x^4$$

نتایج حاصل بعد از گام های ۴ و ۵ به شرح زیر می باشد:

$x(/32)$	حل با آنالیز موجک	حل دقیق	میزان خطأ
1	0.062459	0.062459	0.000000
3	0.186405	0.186403	0.000002
5	0.307463	0.307439	0.000024
31	1.010991	0.933514	0.077477

# فصل ۳

حل معادله تحکیم با استفاده  
از موجک هار

### ۱-۳ حل معادله

در ابتدا بعضی معادلات و تعریف‌های ذکر شده در مورد موجک هار یادآوری می‌شود.

$$h_i(x) = \begin{cases} 1 & \alpha \leq x < \beta \\ -1 & \beta \leq x < \gamma \\ 0 & \text{در غیر این صورت} \end{cases} \quad (1-3)$$

که  $(j = 0, 1, 2, 3, \dots, J)$  ،  $m = 2^j$  عدد صحیح  $\gamma = \frac{k+1}{m}$  و  $\beta = \frac{k+0.5}{m}$  درجه موجک را نشان می‌دهد و  $k = 0, 1, 2, 3, \dots, m-1$  پارامتر انتقال می‌باشد. ماکزیمم درجه دقت  $J$  می‌باشد. اندیس  $i$  با استفاده از فرمول زیر محاسبه می‌شود.

$$i = m + k + 1$$

در این خصوص کمترین مقدار  $i = 0$  به ازای  $m = 1$  به دست می‌آید. و بیشترین مقدار  $M = 2^J$  به ازای  $i = 2M$  به دست می‌آید. از آن‌چه که گفته شد میزان  $i = 1$  متناسب است با سنجش تابع در بازه  $[0, 1]$ .

$$h_1(x) = \begin{cases} 1 & 0 \leq x \leq 1 \\ 0 & \text{در غیر این صورت} \end{cases} \quad (2-3)$$

حالا مجموعه نقاط  $x_l = \frac{(l-0.5)}{2M}$  را تعریف می‌کنیم به طوری که  $. l = 1, 2, 3, \dots, 2M$  داریم:

$$h_1(x) = [1, 1, 1, 1] \quad (3-3)$$

$$h_2(x) = [1, 1, -1, -1] \quad (4-3)$$

$$h_3(x) = [1, -1, 0, 0] \quad (5-3)$$

$$h_4(x) = [0, 0, 1, -1] \quad (6-3)$$

بنابراین خواهیم داشت:

$$H_4(x) = [h_1(x), h_2(x), h_3(x), h_4(x)]^T = \begin{bmatrix} 1 & 1 & 1 & 1 \\ 1 & 1 & -1 & -1 \\ 1 & -1 & 0 & 0 \\ 0 & 0 & 1 & -1 \end{bmatrix} \quad (7-3)$$

$H_4(x)$  را ماتریس ضرایب هار می‌نامند. که یک ماتریس مرتبه  $4 \times 4$  می‌باشد و تعریف می‌کنیم  $H(i, l) = (h_i(x_l))$  که دارای ابعاد  $2M \times 2M$  می‌باشد. حالا معادله انتگرالی رابطه  $h_i(x)$  را به صورت زیر خواهیم داشت:

$$q_i(x) = \int_0^x h_i(t) dt \quad (8-3)$$

در مجموعه نقاط، معادله  $Q(i, l) = q_i(x_l)$  حاصل می‌شود که  $Q$  یک ماتریس  $2M \times 2M$  می‌باشد.

حالا خواهیم داشت:

$$Q_n = P_n H_n \quad (9-3)$$

که به ترتیب  $P_n$  و  $H_n$  را انتگرال و ماتریس ضرایب هار می نامیم.  
عملگر ماتریس انتگرال  $P$  که یک ماتریس مربعی  $2M$  می باشد را به صورت زیر می توان تعریف نمود.

$$P_{i,1}(x) = \int_0^x h_i(t) dt \quad (10-3)$$

$$P_{i,n+1}(x) = \int_0^x P_{i,n}(t) dt \quad (11-3)$$

$$n = 1, 2, 3, 4, \dots$$

این انتگرال ها را با استفاده از رابطه  $(x) h_i$  و برای ۴ تای اول بازنویسی می کنیم.

$$P_{i,1}(x) = \begin{cases} x - \alpha & x \in [\alpha, \beta) \\ \gamma - x & x \in [\beta, \gamma) \\ 0 & \text{در غیر این صورت} \end{cases} \quad (12-3)$$

$$P_{i,2}(x) = \begin{cases} \frac{1}{2}(x - \alpha)^2 & x \in [\alpha, \beta) \\ \frac{1}{4m^2} - \frac{1}{2}(\gamma - x)^2 & x \in [\beta, \gamma) \\ \frac{1}{4m^2} & x \in [\gamma, 1) \\ 0 & \text{در غیر این صورت} \end{cases} \quad (13-3)$$

$$P_{i,3}(x) = \begin{cases} \frac{1}{6}(x - \alpha)^3 & x \in [\alpha, \beta) \\ \frac{1}{4m^2}(x - \beta) - \frac{1}{6}(\gamma - x)^3 & x \in [\beta, \gamma) \\ \frac{1}{4m^2}(x - \beta) & x \in [\gamma, 1) \\ 0 & \text{در غیر این صورت} \end{cases} \quad (14-3)$$

$$P_{i,4}(x) = \begin{cases} \frac{1}{24}(x - \alpha)^4 & x \in [\alpha, \beta) \\ \frac{1}{8m^2}(x - \beta)^2 - \frac{1}{24}(\gamma - x)^4 + \frac{1}{192m^4} & x \in [\beta, \gamma) \\ \frac{1}{8m^2}(x - \beta)^2 + \frac{1}{192m^4} & x \in [\gamma, 1) \\ 0 & \text{در غیر این صورت} \end{cases} \quad (15-3)$$

ما میدانیم که تمام موجک های هار با یکدیگر متعامد هستند.

$$\int_0^1 h_i(x)h_l(x)dx = \begin{cases} 2^{-j}, & i = l = 2^j + k \\ 0, & i \neq l \end{cases} \quad (16-3)$$

بنابراین ساختار آنها تحت انتقال پایا است. هر معادله انتگرال پذیر  $y(x)$  در فاصله  $[0,1]$  می تواند بوسیله سری های هار بسط داده شود.

$$y(x) = \sum_{i=1}^{\infty} c_i h_i(x) \quad (17-3)$$

ضرایب  $c_i$  را به صورت زیر می توان تعیین نمود:

$$c_0 = \int_0^1 y(x)h_0(x)dx \quad (18-3)$$

$$c_i = 2^j \int_0^1 y(x)h_i(x)dx \quad (19-3)$$

که طوری  $i = 2^j + k$  ،  $j \geq 0$  ،  $0 \leq k < 2^j$  ،  $x \in [0,1]$  میزان خطا از رابطه زیر محاسبه می شود.

$$\varepsilon = \int_0^1 [y(x) - \sum_{i=1}^m c_i h_i(x)]^2 dx \quad (20-3)$$

به طوری که  $m = 2^j$  و  $j = 0, 1, 2, \dots$  ، معمولاً بسط سری های  $y(x)$  شامل یک سری جملات نامتناهی است. اگر  $y(x)$  تکه ای ثابت باشد.

$$y(x) \cong \sum_{i=1}^m c_i h_i(x) = c_m^T h_m(x) \quad (21-3)$$

به طوری که ضرایب  $c_m^T$  و بردارهای تابع هار  $h_m(x)$  به صورت زیر تعریف می شوند.

$$c_m^T = [c_1, c_2, c_3, \dots, c_m] \quad (22-3)$$

$$h_m(x) = [h_1(x), h_2(x), h_3(x), \dots, h_m(x)]^T \quad (23-3)$$

که  $T$  ترنسپوز می باشد.

با توجه به نکات بیان شده حل معادله به صورت زیر می باشد:

$$u(0, t) = g_0(t) = f_0(x) , u(x, 0) = f_1(x) , \frac{\partial u}{\partial x}(x, 0) \text{ و شرایط مرزی } u(1, t) = g_1(t) \text{ می باشد.}$$

داریم:

$$\ddot{u}''(x, t) = \sum_{i=1}^{2M} a_i h_i(x) , \quad t \in (t_s, t_{s+1}) \quad (24-3)$$

از معادله بالا انتگرال گیری می کنیم، در ابتدا دو بار بر حسب  $t$  از  $t_s$  تا  $t$  و دو بار بر حسب  $x$  از  $0$  تا  $x$ .

$$\dot{u}''(x, t) = (t - t_s) \sum_{i=1}^{2M} a_i h_i(x) + \dot{u}''(x, t_s) \quad (25-3)$$

$$u''(x, t) = \frac{1}{2} (t - t_s)^2 \sum_{i=1}^{2M} a_i h_i(x) + (t - t_s) \dot{u}''(x, t_s) + u''(x, t_s) \quad (26-3)$$

$$u'(x, t) = \frac{1}{2}(t - t_s)^2 \sum_{i=1}^{2M} a_i p_{1,i}(x) + (t - t_s)[\dot{u}'(x, t_s) + \dot{u}'(0, t_s)] + u'(x, t_s) - u'(0, t_s) + u'(0, t) \quad (27-3)$$

$$u(x, t) = \frac{1}{2}(t - t_s)^2 \sum_{i=1}^{2M} a_i P_{2,i}(x) + (t - t_s)[\dot{u}(x, t_s) - \dot{u}(0, t_s) - x\dot{u}'(0, t_s)] + u(x, t_s) - u(0, t_s) + x[u'(0, t) - u'(0, t_s)] + u(0, t) \quad (28-3)$$

با دو بار مشتق گیری از رابطه فوق بر حسب  $t$  خواهیم داشت:

$$\dot{u}(x, t) = (t - t_s) \sum_{i=1}^{2M} a_i P_{2,i}(x) + \dot{u}(x, t_s) + \dot{u}(0, t) - \dot{u}(0, t_s) + x[\dot{u}'(0, t) - \dot{u}'(0, t_s)] \quad (29-3)$$

$$\ddot{u}(x, t) = \sum_{i=1}^{2M} a_i P_{2,i}(x) + \ddot{u}(0, t) + x[\ddot{u}'(0, t)] \quad (30-3)$$

با توجه به شرایط مرزی و اولیه خواهیم داشت:

$$u(x, 0) = f_0(x), u'(x, 0) = f_1(x), u(0, t) = g_0(t), u(1, t) = g_1(t)$$

$$u(0, t_s) = g_0(t_s), u(1, t_s) = g_1(t_s), \dot{u}(0, t) = \dot{g}_0(t), \dot{u}(1, t) = \dot{g}_1(t)$$

$$\ddot{u}(0, t) = \ddot{g}_0(t), \ddot{u}(1, t) = \ddot{g}_1(t), \ddot{u}(0, t_s) = \ddot{g}_0(t_s), \ddot{u}(1, t_s) = \ddot{g}_1(t_s)$$

به ازای  $x = 1$  در فرمول های  $\ddot{u}(x, t)$  و  $\dot{u}(x, t)$  ،  $u(x, t)$  با استفاده از شرایط بالا خواهیم داشت:

$$u'(0, t) - u'(0, t_s) = -\frac{1}{2}(t - t_s)^2 \sum_{i=1}^{2M} a_i P_{2,i}(1) - (t - t_s)[\dot{g}_1(t_s) - \dot{g}_0(t_s) - \dot{u}'(0, t_s)] + g_1(t) - g_0(t) + g_0(t_s) - g_1(t_s) \quad (31-3)$$

$$\dot{u}'(0, t) - \dot{u}'(0, t_s) = g_1(t) - g_0(t) + g_0(t_s) - g_1(t_s) - (t - t_s)^2 \sum_{i=1}^{2M} a_i P_{2,i}(1) \quad (32-3)$$

$$\ddot{u}'(0, t) = -\sum_{i=1}^{2M} a_i P_{2,i}(1) - \ddot{g}_0(t) + \ddot{g}_1(t) \quad (33-3)$$

حال با جایگذاری سه معادله به دست آمده در معادلات قبلی و به ازای  $x \rightarrow x_l$  و  $t \rightarrow t_{s+1}$  خواهیم داشت.

$$u''(x_l, t_{s+1}) = \frac{1}{2}(t_{s+1} - t_s)^2 \sum_{i=1}^{2M} a_i h_i(x_l) + (t_{s+1} - t_s) \dot{u}(x_l, t_s) + u(x_l, t_s) \quad (34-3)$$

$$u'(x_l, t_{s+1}) = \frac{1}{2}(t_{s+1} - t_s)^2 \sum_{i=1}^{2M} a_i P_{1,i}(x_l) + (t_{s+1} - t_s) \dot{u}(x_l, t_s) + u(x_l, t_s) - \frac{1}{2}(t_{s+1} - t_s)^2 \sum_{i=1}^{2M} a_i P_{2,i}(1) - (t_{s+1} - t_s)[\dot{g}_1(t_s) - \dot{g}_0(t_s)] + g_1(t_{s+1}) - g_1(t_s) + g_0(t_s) - g_0(t_{s+1}) \quad (35-3)$$

$$u(x_l, t_{s+1}) = \frac{1}{2}(t_{s+1} - t_s)^2 \sum_{i=1}^{2M} a_i P_{2,i}(x_l) + (t_{s+1} - t_s)[\dot{u}(x_l, t_s) - \dot{g}_0(t_s)] - x_l[g_1(t_s) - g_0(t_s) + g_0(t_{s+1}) - g_1(t_{s+1})] + g_0(t_{s+1}) \quad (36-3)$$

$$\dot{u}(x_l, t_{s+1}) = (t_{s+1} - t_s) \sum_{i=1}^{2M} a_i P_{2,i}(x_l) + \dot{u}(x_l, t_s) - \dot{g}_0(t_s) - x_l[\dot{g}_1(t_s) - \dot{g}_0(t_s)] - x_l(t_{s+1} - t_s) \sum_{i=1}^{2M} a_i P_{2,i}(1) - x_l[\dot{g}_0(t_{s+1}) - \dot{g}_1(t_{s+1})] + \dot{g}_0(t_{s+1}) \quad (37-3)$$

$$\ddot{u}(x_l, t_{s+1}) = \sum_{i=1}^{2M} a_i [P_{2,i}(x_l) - x_l P_{2,i}(1)] - x_l[\ddot{g}_0(t_{s+1}) - \ddot{g}_1(t_{s+1})] + \ddot{g}_0(t_{s+1}) \quad (38-3)$$

ما می دانیم که:

$$P_{2,i}(1) = \begin{cases} 0.5 & , \quad i = 1 \\ \frac{1}{4m^2} & , \quad i > 1 \end{cases} \quad (39-3)$$

و در نهایت روابط به دست آمده را در معادله اصلی جایگذاری و با استفاده از نرم افزارهای مربوطه کد نویسی و حل می نماییم.

مثال: معادله زیر را به ازای  $j=4$  و  $c=3$  و  $\Delta t = 0.00001$  حل می نماییم.

$$\frac{\partial^2 u}{\partial t^2} = c^2 \frac{\partial^2 u}{\partial x^2}, \quad 0 < x < 1, \quad t > 0$$

شرط اولیه:

$$u(x, 0) = u_0 \sin(\pi x), \quad \dot{u}(x, 0) = 0, \quad 0 < x < 1$$

شرط مرزی:

$$u(0, t) = 0, \quad u(1, t) = 0, \quad t > 0$$

حل دقیق:

$$u(x, t) = u_0 \cos(\pi ct) \sin(\pi x)$$

نتایج حل با آنالیز موجک:

$$u(x_l, 0) = u_0 \sin(\pi x_l), u''(x_l, 0) = -\pi^2 u_0 \sin(\pi x_l), \dot{u}''(x_l, 0) = 0,$$

$$\dot{u}(x_l) = 0$$

برای  $t=0.2$  و  $u_0 = 1$  خواهیم داشت:

$xl/64$	حل با آنالیز موجک	حل دقیق
1	-1.515e-002	-1.516e-002
3	-4.531e-002	-4.534e-002
5	-7.503e-002	-7.509e-002
63	-1.515e-002	-1.516e-002

### ۲-۳ نتیجه گیری

شکل کلی معادله تحکیم به صورت زیر است:

$$\frac{\partial u}{\partial t} = C_V \frac{\partial^2 u}{\partial z^2}$$

معادله را به صورت زیر بازنویسی می نماییم:

$$\dot{u}(z_l, t_{s+1}) = C_V u''(z_l, t_{s+1})$$

با جایگذاری روابط به دست آمده در معادله بالا خواهیم داشت:

$$(t_{s+1} - t_s) \sum_{i=1}^{2M} a_i P_{2,i}(z_l) + \dot{u}(z_l, t_s) - \dot{g}_0(t_s) - z_l[\dot{g}_1(t_s) - \dot{g}_0(t_s)] \\ - z_l(t_{s+1} - t_s) \sum_{i=1}^{2M} a_i P_{2,i}(1) - z_l[\dot{g}_0(t_{s+1}) - \dot{g}_1(t_{s+1})] + \dot{g}_0(t_{s+1}) \\ = C_V \left[ \frac{1}{2} (t_{s+1} - t_s)^2 \sum_{i=1}^{2M} a_i h_i(z_l) + (t_{s+1} - t_s) \dot{u}''(z_l, t_s) \right. \\ \left. + u''(z_l, t_s) \right]$$

### ۱-۲-۳ حل مسئله نمونه با استفاده از روش آنالیز موجک

حال مثال بخش ۱۰-۱ را با استفاده از روش موجک هار حل می نماییم.

با فرض وجود لایه ماسه نفوذپذیر از بالا و پایین لایه رس خواهیم داشت:

$$\dot{g}_1(t_{s+1}) = 0 \text{ و } \dot{g}_0(t_{s+1}) = 0 \text{ و } \dot{g}_0(t_s) = 0 \text{ و } \dot{g}_1(t_s) = 0$$

$$(t_{s+1} - t_s) \sum_{i=1}^{2M} a_i P_{2,i}(z_l) + \dot{u}(z_l, t_s) - z_l(t_{s+1} - t_s) \sum_{i=1}^{2M} a_i P_{2,i}(1) \\ = C_V \left[ \frac{1}{2} (t_{s+1} - t_s)^2 \sum_{i=1}^{2M} a_i h_i(z_l) + (t_{s+1} - t_s) \dot{u}''(z_l, t_s) \right. \\ \left. + u''(z_l, t_s) \right]$$

با ساده سازی خواهیم داشت:

$$(t_{s+1} - t_s) \sum_{i=1}^{2M} a_i P_{2,i}(z_l) - z_l(t_{s+1} - t_s) \sum_{i=1}^{2M} a_i P_{2,i}(1) \\ - C_V \left[ \frac{1}{2} (t_{s+1} - t_s)^2 \sum_{i=1}^{2M} a_i h_i(z_l) \right] \\ = C_V [(t_{s+1} - t_s) \dot{u}''(z_l, t_s) + u''(z_l, t_s)] - \dot{u}(z_l, t_s)$$

داریم:

$$(t_{s+1} - t_s) \left( \sum_{i=1}^{2M} a_i \left( P_{2,i}(z_l) - z_l P_{2,i}(1) - C_V \left[ \frac{1}{2} (t_{s+1} - t_s) h_i(z_l) \right] \right) \right) \\ = C_V [(t_{s+1} - t_s) \dot{u}''(z_l, t_s) + u''(z_l, t_s)] - \dot{u}(z_l, t_s)$$

نتایج حاصله به ازای  $j = 1$  به صورت زیر می باشد.

نتایج حاصل در زمان  $t = 5\text{day}$

$z(m)$	۰	۲	۴	۶	۸
$U(\frac{KN}{m^2})$	۰	84.18	118.327	84.22	۰

نتایج مثال حل شده در فصول اول و سوم بخش های ۱۰-۱ و ۱-۲-۳ که یکی با روش حل عددی و دیگری آنالیز موجکی حل شده است را در جدول ذیل مقایسه می نماییم.

$z(m)$	$U(\frac{KN}{m^2})$ موجک هار	$U(\frac{KN}{m^2})$ حل عددی	میزان خطأ
۰	۰	۰	۰
۲	84.18	84.20	0.0119
۴	118.327	118.313	0.0146
۶	84.22	84.20	0.0185
۸	۰	۰	۰

با توجه به داده های بالا مشاهده می کنیم که میزان خطا در حد قابل قبولی می باشد. می توان از روش آنالیز موجک برای حل معادله تحکیم و دیگر معادلات مکانیک خاک استفاده نمود. در پژوهش دیگری همزمان با این پژوهش، حل معادله تراوش با استفاده از آنالیز موجک هار انجام شده است و نتایج حاصله از آن نیز قابل قبول می باشد.

از جمله مزیتهای حل معادلات با آنالیز موجک، استفاده از محاسبات ماتریسی در تعیین جوابهای عددی می باشد، که موجب افزایش دقت و سرعت محاسبات می شود. کاهش حجم محاسبات و ارائه زمان اجرا از مزایای این روش محسوب می شود. با افزایش میزان رزولوشن ( $J$ ) می توان تعداد بیشتری از داده ها را در فاصله نزدیک تر به دست آورد، به طوری که به ازای  $3=J$  ماتریس مورد نظر تبدیل به یک ماتریس  $16*16$  می شود و مشخصا تعداد جواب ها نیز افزایش می یابد. اما باید این نکته را در نظر گرفت که با افزایش رزولوشن و در پی آن افزایش درایه های ماتریس، حل معادله ماتریسی مربوطه مشکل می گردد.

### ۲-۲-۳ پیشنهادات

در این پژوهش سعی شده است معادله تحکیم خاک با فرض های اولیه ساده با استفاده از روش موجک هار حل گردد. تحقیق حاضر شروعی بر حل معادلات با شرایط مرزی پیچیده تر در رابطه با مکانیک خاک و پی می باشد. پیشنهاد می گردد که پژوهشگران با استفاده از فرض های پیچیده تر سعی نمایند معادله تحکیم خاک و یا دیگر معادلات مکانیک خاک را با استفاده از این روش حل نمایند.

## واژه نامه انگلیسی به فارسی

Contraction .....	انقباضی
Compact .....	فشرده
Cauchy principal value .....	مقدار اصلی کوشی
Convex .....	محدب
Compact support .....	محمل فشرده
Cauchy type .....	نوع کوشی
Countinuous mapping .....	نگاشت پیوسته
difference kernel .....	هسته تفاضلی
Function Space .....	فضای تابع
Fast decomposition .....	گسسته سازی سریع
Haar scaling function .....	تابع مقیاس هار
Haar function .....	تابع هار
Hat function.....	تابع کلاهی
Hilbert space .....	فضای هیلبرت
Homogeneous .....	همگن
Hammerstein .....	همرشتین
Hermitian kernel .....	هسته هرمیتی
Kronecker delta .....	تابع دلتای کرونکر
Kernel .....	هسته
Lipschitzian .....	لیپ شیتر
MultiResolution Analysis.. .....	آنالیز چندریزگی
Measure .....	اندازه
Multiscaling function .....	چند مقیاس
Method perturbation homotopy .....	روش هموتوپی HMP
Method of Cosine And Sine wavelets .....	روش موجک های CAS
Method transformation differential .....	روش DT
Nonlinear Hammerstein integral Equation .....	معادله انتگرل غیر خطی همرشتین
Nonhomogeneous .....	ناهمگن
Normal kernel .....	هسته نرمال
Orthogonal .....	متعادمد

Ordered .....	مرتب .....
Probabilistic .....	احتمالی .....
Powerdomain .....	دامنه توانی .....
Program Fragment .....	قطعه برنامه .....
Reconstruction algorithms .....	الگوریتم اصلاحی .....
Riesz Basis .....	پایه ریس .....
Rationalized Haar wavelet .....	موجک های هار گویا .....
Regular local .....	موضعی منظم .....
Stably .....	پایدار .....
Scaling function .....	تابع مقیاس .....
Schauder Fixed-POint thm.....	قضیه نقطه ثابت شودر .....
Symmetric kernel.....	هسته متقارن .....
Support .....	محمل .....
Scaling or Refinable equation .....	معادله مقیاس .....
Semantic Domain .....	دامنه معنایی .....
Singular integral equation .....	معادله انتگرال منفرد .....
Volterra integral equation .....	معادله انتگرال ولترا .....
Volterra integro-differential equations .....	معادله انتگرال - دیفرانسیل ولترا .....
Valuation .....	ارزیابی .....
Wavelet Analysis .....	آنالیز موجک .....

## مراجع:

- [1] Braja M.Das, (2008), “**advanced soil mechanics**”, Vol. 1 third edition,Taylor&Francis,New York,P276-372.
- [2] Braja M.Das, (2009), “**principal of geotechnical engineering**”, Vol. 1 fifth edition, Thomson, California state university,P 259-310.
- [3] شرفی، حسن و یزدان شمس ملکی، (۱۳۹۲)، ” مقایسه‌ی عددی حل‌های معادله‌ی تحکیم یک بعدی ترزاوی به روش‌های تفاوت‌های محدود، اجزاء محدود و تحلیلی در ترسیم منحنی‌های همزمان ۱ تحکیم ”، هفتمین کنگره ملی مهندسی عمران ، زاهدان، دانشگاه سیستان و بلوچستان.
- [4] Sepulveda Anon N., (1991) “**Solution of the one-dimensional consolidation theory equation with a pseudospectral method**” ,Proceedings of the 4th International Symposium on Land Subsidence, p10, Houston, TX, USA.
- [5] عباسی نادر، رحیمی حسن، فاخر علی، (۱۳۸۴) ” بررسی رفتار تحکیم پذیری خاک‌های ریزدانه نرم با استفاده از دستگاه تحکیم هیدرولیکی ” مجله تحقیقات مهندسی کشاورزی ، شماره ۲۵، دوره ۶ ص ۹۵ تا ۱۱۲.
- [5] S. G. Mallat, (1989), “**Multiresolution approximation and wavelet orthonormal bases of , Trans.AMS**”, Vol. 315, Issue 1 pp. 69-87.
- [6] Y. Meyer, (1992), “**Wavelets and Operators**”, Vol. 1 Cambridge University Press.
- [7] A. Grossmann, J. Modet, T. Paul, (1985), “**Transforms associated to square integrable grouprepresentations**”, 1. General results, J.Math. Phys. 26 (10) (1985) 2473–2479.
- [8] A. Grossmann, J. Modet, T. Paul, (1986), “**Transforms associated to square integrable grouprepresentations.2. Examples**” , Ann. Inst. Henri Poincare 45 (3) (1986) 293–309.
- [9] A. Grossmarm, M. Holschneider, R. Kronland-Martinet, J. Morlet, (1987), “**Detection of abrupt changes in sound signals with the help of wavelet transforms**” , Adv. Electron. Electron Phys. S 19 (1987) 289–306.
- [10] I. Daubechies, (1992), “**Ten Lectures on wavelets**” , SIAM, Philadelphia, PA.
- [11] J. P. Antoine, P. Carrette, R. Murenzi, B. Piette, (1993), “**Image analysis with two-dimensional continuous wavelet transform**” , Signal Processing Volume 31, Issue 3, April 1993, Pages 241–272.
- [12] W. M. Lawton, (1991), “**Necessary and sufficient conditions for constructing orthogonal wavelet bases**” Journal of Mathematical Physics, Vol. 32, Issue 1 pp. 57-61.
- [13] A. Cohen, (2003), “**Wavelets method in numerical analysis**” , Elsevier, Amsterdam.
- [14] A. Cohen, I. Daubechies, J. Feauveau, (1992), “**Biorthogonal bases of compactly supported wavelets**” Communications on Pure and Applied Mathematics, Vol. 45, Issue 5 pp. 485– 560.

[15] Dongao Deng, Guangzhou, Daren Huang, Hangzhou, Rong-Qing Jia, Wei Lin, Guangzhou, and Jianzhong Wang, (2002), “**Wavelet Analysis and Applications**” , A co-publication of the AMS and International Press of Boston, Inc.

[16] ] Nayebi, K., Sodagar, I., and Barnwell, T.P. (1992), “**The wavelet transform and time-varying tiling of the time-frequency plane**” . IEEE Transactions on Acoustics, Speech, and Signal Processing, pp. 147-150.

[17] عرفانیان اورعی، م، (۱۳۹۴)، رساله دکتری : ” حل عددی معادلات انتگرال با استفاده از موجک های هار ”، دانشکده علوم ریاضی، دانشگاه فردوسی.

[18] ] F. Keinert, (2004), “**Wavelets and Multiwavelets**” , Chapman Hall/CRC.

[19] H. L. Resnikoff, R. O. Wells, (1998), “**Wavelet Analysis, The scalable structure of information**” Springer-Verlag.

[20] M. Razzaghi, J. Nazarzadeh, (1999), “Walsh functions” Wiley Encyclopedia of Electrical and Electronics Engineering 23 p 429–440.

[21] J. J. Reis, R. T. Lynch, J. Butman, (1976), “**Adaptive Haar transform video bandwidth reduction system for RPVs**” , Proceedings of Annual Meeting of Society of Photo-Optic Institute of Engineering (SPIE), SanDieago, CA, (1976) 24–35.

[22] R. T. Lynch, J. J. Reis, (1976), “**Haar transform image conding**” Proceedings of the National Telecommunications Conference, Dallas, TX, p 441–443.

[23] P. Wojtaszczyk, (1997), “**A Mathematical Introduction to Wavelets**” , Cambridge University Press.

[24] ] STRANG, (1992), “**G.Wavelet transforms versus Fourier transforms**” , Research notes, MIT, pp. 1–18.

[25] ] STRANG, (1989), “**G.Wavelet and dilation equations a brief introduction**” , SIAM Rev., 31,pp. 614-627.

[26] ] phang chang.phang piau, (2008), “**Haar Wavelet Matrices Designation in Numerical Solution of Ordinary Differential Equations**” IAENG International Journal of Applied Mathematics, Volume 38 No.3.

[27] ] Inderdeep Singh, Sangeeta Arora, Sheo Kumar , (2015), “**NUMERICAL SOLUTION OF WAVE EQUATION USING HAAR WAVELET** ” International Journal of Pure and Applied Mathematics, Volume 98 No. 4, 457-469.

[28] G. Hariharan and K. Kannan, (2013), “**An Overview of Haar Wavelet Method for Solving Differential and Integral Equations** ” World Applied Sciences Journal, Volume 23 No. 1201-14.

[29] بذرافشان مقدم، ا و باقری پور، م ، (۱۳۸۷)، رساله دکتری : ” آنالیز تاریخچه زمانی با استفاده از تئوری موجکی ” . چهارمین. کنگره ملی مهندسی عمران، دانشگاه تهران، ایران.

[30] S.S.Dragomir, (2007), “**Inequalities for the norm and the numerical radius of linear operators in Hilbert spaces**”, Vol. 2 Demonstratio Mathematica,Poland,p 411-417.

## پیوست ۱: تعاریف و اصطلاحات

موجک: دسته‌ای از توابع ریاضی هستند که برای تجزیه سیگنال پیوسته به مولفه‌های فرکانسی آن بکار می‌رود که رزولوشن هر مولفه برابر با مقیاس آن است. تبدیل موجک تجزیه تابع بر مبنای توابع موجک می‌باشد. موجک‌ها (که به عنوان موجک‌های دختر شناخته می‌شوند) نمونه‌های انتقال یافته و مقیاس شده یک تابع (موجک مادر) با طول متناهی و نوسانی شدیداً میرا هستند [30].

تبدیل موجک پیوسته: (CWT) Continuous wavelet transform

تبدیل موجک گسسته: (DWT) Discrete wavelet transform

تبدیل موجک سریع: (FWT) Fast wavelet transform

تجزیه بسته‌های موجک: (WPD) Wavelet packet decomposition

تبدیل موجک ساکن: (SWT) Stationary wavelet transform

آنالیز چند رزولوشن: (Multi resolution analysis) منظور از آنالیز چند رزولوشن، تحلیل سیگنال در فرکانس‌های مختلف با رزولوشن‌های متفاوت است. بر خلاف تبدیل فوریه زمان-کوتاه، در آنالیز چند رزولوشن، با هر یک از مولفه‌های فرکانسی به طور یکسان رفتار نمی‌شود. در حقیقت هدف آنالیز چند رزولوشن، ارائه رزولوشن زمانی مناسب و رزولوشن فرکانسی نادقيق در فرکانس‌های بالا و در مقابل، رزولوشن فرکانسی خوب و رزولوشن زمانی ضعیف در فرکانس‌های پائین است.

درجه بندی دودویی: به منظور گسسته کردن تبدیل موجک، ابتدا پارامتر مقیاس بر حسب یک درجه بندی لگاریتمی، گسسته می‌شود. پس از آن، متغیر زمان با توجه به پارامتر مقیاس گسسته می‌شود به نحوی که برای هر مقیاس، یک نرخ نمونه برداری جداگانه استفاده شود. اصطلاحاً گفته می‌شود نمونه برداری بر روی یک درجه بندی دودویی انجام پذیرفته است.

فضای نرم دار: فرض کنید  $X$  یک فضای برداری میدان مختلط  $C$  باشد. تابع حقیقی  $R \rightarrow \| \cdot \|$  را که در شرایط زیر صدق کند، یک نرم روی  $X$  می‌نامیم:

$$1. \quad \|x\| \geq 0 \quad \text{برای هر } x \in X \quad \text{و} \quad \|x\| = 0 \quad \text{اگر و فقط اگر } x = 0$$

$$2. \quad \|x + y\| \leq \|x\| + \|y\| \quad \text{برای هر } x, y \in X \quad (\text{نا مساوی مثبت})$$

$$3. \quad \|\gamma x\| = |\gamma| \|x\| \quad \text{برای هر } \gamma \in C \quad \text{و} \quad x \in X$$

یک فضای برداری مختلط  $X$  که دارای نرم باشد را یک فضای نرم دار می‌گوییم.

فضای هیلبرت: یک فضای برداری کامل است که نرم آن (معادل قدر مطلق) از طریق ضرب نرده‌ای تعریف می‌شود.

ماتریس تنک: ماتریسی است که اکثر عناصر آن صفر باشد. هنگامی که ابعاد ماتریس به حدی بزرگ شود که در حافظه نگنجد و نیز تعداد زیادی از درایه‌های موجود صفر باشد [30].

## **Abstract**

Ordinary & differential equations arise in many scientific & engineering problems. Sometimes while solving this type of equations, we will encounter with new equations that their unknown functions appear under an integral sign. These equations are called as Integral equations. There are two problems during solving these equations, complicated calculations & result accuracy. Many studies have been done to find a solution to reduce the mentioned problem. In recent years, wavelet is used for solution of integral equations, it will reduce calculating costs, broadly. Researches showed that orthogonal wavelet is capable than classic basis. Orthogonal wavelet was first wavelets which used to solve integral equations, because of they used in signal processing, from the first time.

There are two reasons for using wavelets, first, when wavelet is used for extension of a function or signal, initial coefficients in wavelet extension have most of the function or signal information, so, accurate results can be achieved with less terms than the other basis. Second reason which is more major than the first one is scattered operational matrices that cause to easy solution of algebraic equation system. Among the wavelet desirable features in solving integral equations, simplest orthonormal wavelet with compact support are remarkable. Haar wavelet is a sequence that is now recognized as the first known wavelet basis and extensively used as a teaching example. The Haar sequence was proposed in 1909 by Alfréd Haar. The Haar wavelet is also the simplest possible wavelet. consolidation differential equation has been solved with different methods. In this thesis, we will solve the consolidation differential equation by using wavelet. Although, it should be mention that the present research is beginning of the soil mechanic equations solution with more complicated boundary conditions.

Key words: differential equations, . consolidation differential, wavelet



Shahrood University of Technology

Kharazmi Campus

.Msc thesis in Geotechnique

## **A wavelet-based solution of the consolidation equation**

**By: Mojtaba Rastegar**

Supervisor

**Dr. A. Bazrafshan. M**

Consultant

**Dr. M. Erfanian.O**

Sep 2016